

T. C.
ULUDAĞ ÜNİVERSİTESİ
MÜHENDİSLİK FAKÜLTESİ
ELEKTRONİK MÜHENDİSLİĞİ BÖLÜMÜ

80C196KC MICROCONTROLLER' I İÇİN
BİR FFT PROGRAMININ GELİŞTİRİLMESİ

LİSANS TEZİ

SÜRURİ KARAÇORLU

BURSA, HAZİRAN 1992

ÖNSÖZ

Fast Fourier Transform, son yıllarda hızla gelişmekte olan Digital Signal Processing (Dijital Sinyal İşleme) konusunun ayrılmaz bir parçasıdır.

Bu projede okulumuza geçtiğimiz yıl gelen EV80C196KC Evaluation Board yardımıyla bir FFT programı gerçekleştirilmiştir. 80C196KC 'nin çok güçlü bir microcontroller olmasının sağladığı destekle, bu programın, önümüzdeki yıllarda okulumuzda gerçekleştirilecek birçok uygulamada kullanılmasına inanıyorum. Ben, okulumuzda 80C196KC microcontroller ile tanışma fırsatını yakalayabilen sayılı öğrencilerinden biri olarak, benden sonra gelecek arkadaşlardan, bizim tecrübelerimizden bu projeleri inceleyerek yararlanmalarını ve bu yolla bizden çok daha iyi projeler çıkarmalarını diliyorum.

Bu tez çalışmasının gerçekleştirilmesinde bana çok fazla yardım dokunan saygıdeğer hocam Öğr. Gör. Yük. Müh. Haluk Gümüşkaya'ya, sevgili arkadaşlarım R. İrfan Öztürk ve F. İbrahim Cirit'e teşekkür ederim.

ÖZET

Bu çalışmada, 80C196KC Microcontroller'i için bir FFT programının geliştirilmesi amaçlanmaktadır. Bu konuda öncelikle Fast Fourier Transform (FFT) 'nin teorisi üzerinde araştırma yapılmıştır. Bu araştırmanın sonucunda C dilinde, IBM PC ortamında çalışabilecek bir FFT programı geliştirilmiştir. Ardından C programında kullanılan algoritmadan faydalananlarak 80C196KC'nin makine dilinde bir FFT programı yazılmıştır. Makine dilinde yazılan programlar ASM96 Assembler ile derlendikten sonra ECN96 programı aracılığı ile EV80C196KC Evalution Board üzerinde çalıştırılmıştır.

ABSTRACT

In this study, it is intenedt to develop a FFT software program for 80C196KC Microcontroller. First I studied on the theory and applications of FFT then I developed a C program in IBM PC enviroment on this subject. After that a machine code program is written for 80C196KC by using the algorithm written in C. The machine code programs are compiled in ASM96 Assembler then they are realized on EV80C196KC Evaluation Board by using ECM96 Program.

İÇİNDEKİLER

- 1 Giriş
- 2 FAST FOURIER TRANSFORM (FFT) TEORİSİ
 - 2.1 Decomposition in Time (DIT)
 - 2.1.1 DIT Algoritmasının Bilgisayara Uyarlanması
 - 2.2 Decomposition in Frequency (DIF)
 - 2.3 DIT ve DIF Algoritmalarında Yapılabilecek Değişiklikler
 - 3 FFT PROGRAMININ GELİŞTİRİLMESİ
 - 3.1 Akış Şeması
 - 3.2 C Programı Hakkında Genel Açıklama
 - 3.3 ASM96 Programı Hakkında Genel Açıklama
 - 4 80C196KC MICROCONTROLLER'IN TANITIMI ve KOMUT LİSTESİ
 - 5 EV80C196KC EVALUATION BOARD

EK1 C PROGRAMI

EK2 ASM96 PROGRAMI

1.0 GİRİŞ

Intel Firması tarafından geliştirilen 80C196KC microcontroller'i, önceleri mikroişlemcilerle gerçekleştirilen birçok uygulamayı daha kolay, daha hızlı, daha az donanımla ve daha az yazılımla daha güvenli olarak gerçekleştirebilecek güçlü bir microcontroller'dır.

Bu tez çalışmasında örneklenmiş bir sinyal üzerinde Fast Fourier Transform yapabilecek bir program geliştirilmiştir. Örneklenmiş değerler programda datalar halinde verilebileceği gibi Evaluation Board'in dışarıdan analog sinyal alıp örnekleyebilmesi özelliğinden de yararlanılabilir.

FFT, bir analog sinyalde hangi frekanslarda işaretlerin bulunduğu tesbit etmekte kullanılır. Değişik dalga şekillerinin frekans bileşenleri FFT yardımıyla bulunarak, bunların başka sinyallerle karşılaşmak veya modeller oluşturmak mümkündür. Bu yöntem, konuşma algılayıcıları (speech sensors) veya makine gürültü algılayıcılarında (engine knock sensors) kullanılır. FFT, ayrıca cisimleri tanıyan görüntü algılayıcı sistemlerde ve radar sistemlerinde hareket eden nesneleri tanımlamakta kullanılır.

Bu tez çalışmasında, 80C196KC microcontroller'i ve EV80C196KC Evaluation Board ile ilgili fazla ayrıntıya girilmesi durumunda esas konudan uzaklaşılacağından, bu konulardaki açıklamaların kısa olarak verilmesi uygun görülmüştür.

2.0 FAST FOURIER TRANSFORM (FFT) TEORİSİ

Ayrik Fourier Dönüşümü olarak bilinen Discrete Fourier Transform (DFT)'nin temel dayanağı, bir fonksiyonun kompleks exponansiyellerin veya başka bir deyişle sinüslerin toplamı olarak gösterilebilmesidir.

$$X(k) = \sum_{n=0}^{N-1} x(n) e^{-j(2\pi/N)nk} \quad k=0,1,\dots,N-1 \quad (1)$$

Bu denklem yardımıyla $x(n)$ ile gösterilen giriş dizisinin DFT'si elde edilir. N , bir periyot içinde alınan örnek sayısına karşılık gelir.

1 numaralı denklemdeki gibi DFT algoritmasında N tane kompleks çarpma işlemine ihtiyaç duyulmaktadır. FFT algoritmaları kullanılarak daha az sayıda kompleks çarpma işlemi ile aynı iş yapılabılır. Aşağıda Decomposition in Time (DIT) ve Decomposition in Frequency (DIF) olarak bilinen iki çeşit FFT algoritması incelenmiştir.

2.1 Decomposition In Time (DIT)

Burada $N=2,4$ ve 8 nokta için DFT hesaplamalarını inceleyeceğiz. (N : 2 'nin katı olan bir tam sayıdır) 1 numaralı denklemi aşağıdaki gibi yazabiliriz:

$$X(k) = \sum_{n=0}^{N-1} x(n) (W_N)^{nk} \quad k=0,1,2,3,\dots,N-1 \quad (2)$$

$$W_N = e^{-j2\pi/N}$$

$[W_N]^{nk}$ Agırlik Faktoru

2 noktalı DFT için aşağıdaki denklemi yazabiliriz:

$$X(k) = \sum_{n=0}^1 x(n) W_2^{nk}$$

$$X(k) = x(0) W_2^{0k} + x(1) W_2^{1k} \quad k=0,1 \quad (3)$$

Burada

$$W_2 = e^{-j(2\pi/2)} = e^{-j\pi} = -1$$

şeklindedir. $n=0$ ve $n=1$ için

$$W_2^{0k} = (-1)^{0k} = 1$$

$$W_2^{1k} = (-1)^k$$

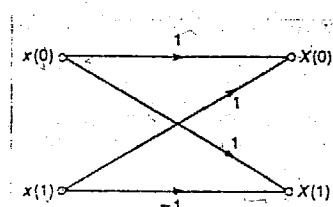
şeklinde ifade edebiliriz. Böylece,

$$X(0) = x(0) \cdot 1 + x(1) \cdot 1 = x(0) + x(1)$$

$$X(1) = x(0) \cdot 1 + x(1) \cdot (-1) = x(0) - x(1) \quad (4)$$

elde edilir.

Bu denklemler için kompleks çarpmalara ihtiyaç duyulmamaktadır. Elde edilen bu denklemler, şekil 1'deki sinyal akış grafigi ile gösterilebilir.



ŞEKİL 1: 2 noktalı DFT'yi tanımlamakta kullanılan ve BUTTERFLY olarak bilinen sinyal akış grafiği

Bu grafik 4 numaralı denklemlerin şekilde ifadesidir ve girişler $x(0)$ ile $x(1)$ ve çıkışlar $X(0)$ ile $X(1)$ olarak gösterilmiştir. Kollar giriş ve çıkışları birbirine bağlar ve üzерlerine çarpanlar yazılmıştır. Bu gösterimde çarpanlar $(+1)$ veya (-1) 'dır. Şekil 1'deki yapıya BUTTERFLY (kelebek) denir.

4 noktalı DFT için temel denklem şu şekildedir:

$$X(k) = \sum_{n=0}^{n=3} x(n) \cdot W_4^{nk} \quad k=0,1,2,3,4$$

$$=x(0)W_4^{0k}+x(1)W_4^{1k}+x(2)W_4^{2k}+x(3)W_4^{3k} \quad (5)$$

5. denklemdeki ilk terim şu şekilde yazılabilir:

$$W_4^{0k}=e^{-j(2\pi/4)0k}=e^{-j(2\pi/2)0k}=W_2^0 \quad (6)$$

Aynı şekilde 3. terimi de şu şekilde yazabiliriz:

$$W_4^{2k}=e^{-j(2\pi/4)2k}=e^{-j(2\pi/2)k}=W_2^k \quad (7)$$

5 numaralı denklemin 1. ve 3. terimlerinin birleştirilmesiyle,

$$x(0)W_4^{0k}+x(2)W_4^{2k}=x_1(0)W_2^{0k}+x_1(1)W_2^k \quad (8)$$

elde edilir. Burada yeni bir dizi olan

$$x_1(n)=x(2n) \quad n=0,1 \quad (9)$$

dizisi karşımıza çıkar. 8. ve 3. denklemelerin karşılaştırılmasıyla,

$$X_1(1)=x_1(0)W_2^0+x_1(1)W_2^1 \quad (10)$$

denklemi bulunur. Bu denklem 9. denklemde tanımlanan $x_1(n)$ dizisinin 2 noktalı DFT'sidir.

5. denklemde kalan iki terim:

$$x(1)W_4^k+x(3)W_4^{3k}=W_4^k[x(1)W_4^{0k}+x(3)W_4^{2k}] \quad (11)$$

şeklindedir. 7. denklemde elde edilen

$$W_4^{2k}=W_2^k$$

eşitliği 11. denklemde yerine konursa:

$$x(1)W_4^k+x(3)W_4^{3k}=W_4^k[x_2(0)W_2^0+x_2(1)W_2^1]=W_4^kX_2(k) \quad (12)$$

bulunur. Burada yeni bir dizi olarak

$$x_2(n)=x(2n+1) \quad n=0,1 \quad (13) \quad \text{kullanılmıştır.}$$

10. ve 12. denklemlerin birleştirilmesiyle:

$$x(n)=x_1(n)+x_2(n)$$

şeklinde verilen dizinin 4 noktalı DFT'si olan

$$X(k)=x_1(0)W_2^{0k}+x_1(1)W_2^k+W_4^k[x_2(0)W_2^{0k}+x_2(1)W_2^k] \quad (14)$$

denklemi elde edilir. Bu denklem şu şekilde de ifade edilebilir:

$$X(k)=X_1(k)+W_4^kX_2(k) \quad k=0,1,2,3 \quad (15)$$

15. denklemi kelimelerle anlatmak gerekirse:

$$[x(n)'in 4 noktalı DFT'si]=[x_1(n)'in 2 noktalı DFT'si]$$

$$+W_4^k[x_2(n)'in 2 noktalı DFT'si] \quad (16)$$

Dürtüce 4 noktalı DFT'yi iki tane 2 noktalı DFT olarak ifade etmiş oluyor.
2 noktalı DFT'nin periyodik oluşu nedeniyle:

$$X_1(k+2)=X_1(k)$$

$$X_2(k+2)=X_2(k) \quad k=0,1 \quad (17)$$

şeklindedir ve $X(k)'yi$ bu iki dizinin toplamı şeklinde ifade ederek 15. denklemde k' ye değerler vererek aşağıdaki denklemleri elde edebiliriz:

$$X(0)=X_1(0)+W_4^0X_2(0)=X_1(0)+X_2(0) \quad (18)$$

$$X(1)=X_1(1)+W_4^1X_2(1) \quad (19)$$

Bu denklemleri yazarken 17.denklem ile tanımlanan $X_1(k)$ ve $X_2(k)$ 'nın periyodikliğinden ve

$$X(2)=X_1(2)+W_4^2 X_2(2)=X_1(0)-X_2(0) \quad (20)$$

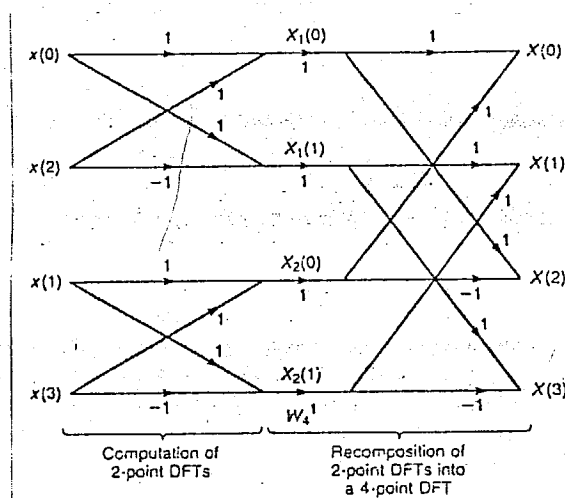
$$X(3)=X_1(3)+W_4^3 X_2(3)=X_1(3)+W_4^1 W_4^2 X_2(3)=X_1(1)-W_4^1 X_2(1) \quad (21)$$

$$W_4^2 = -1$$

eşitliğinden yaralandık.

18.den 21.ye kadar olan denklemiere recomposition "birleştirme denklemleri" denir.

16. ve 18-21. denklemelerin sonuçları şekil 2'de sinyal akış grafigi ile gösterilmiştir. Şekil 2'de verilen yapı butterfly'lardan oluşmaktadır ve burada sadece bir tane kompleks çarpma işlemine ihtiyaç duyulur. Bu işlem ise W_4^1 'in hesaplanmasıdır.



ŞEKİL 2: 4 noktalı DFT

Örneğin $x(n)=\{0,1,2,3\}$ olarak verilen bir dizinin 4 noktalı DFT'sini şekil 2'yi kullanarak bulabiliriz:

ilk olarak aşağıdaki eşitlikler hesaplanır.

$$X_1(0)=x(0)+x(2)=0+2=2$$

$$X_1(1)=x(0)-x(2)=0-2=-2$$

$$X_2(0) = x(1) + x(3) = 1 + 3 = 4$$

$$X_2(1) = x(1) - x(3) = 1 - 3 = -2 \quad (22)$$

Şekil 2'den yararlanarak DFT'ler şu şekilde hesaplanabilir:

$$X(0) = X_1(0) + X_2(0) = 2 + 4 = 6$$

$$X(1) = X_1(1) + W_4^1 X_2(1) = -2 + e^{-j(2\pi/4)}(-2) = -2 + j2 = 2\sqrt{2}e^{j3\pi/4}$$

$$X(2) = X_1(0) - X_2(0) = 2 - 4 = -2$$

$$X(3) = X_1(1) - W_4^1 X_2(1) = -2 - e^{-j(2\pi/4)}(-2) = -2 - j2$$

$$= 2\sqrt{2}e^{j(5\pi/4)} \quad (23)$$

Özetle tablo şöyledir:

$$X(0) = \sum_{n=0}^3 x(n) = 6$$

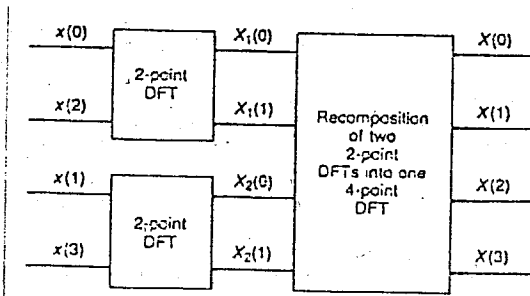
olduğunu görebiliriz.

$$k=N/2=2$$

noktasında simetriden dolayı şu eşitlik vardır:

$$X(1) = X^*(3)$$

Şekil 2'deki gösterim Şekil 3'de blok diyagramlarla ifade edilmiştir.



ŞEKİL 3: 4 noktalı DFT hesaplarının blok diyagramı gösterimi

8 noktalı DFT'yi inceleyeceğ olursak

$$X(k) = \sum_{n=0}^7 x(n) e^{-j(2\pi/8)nk} = \sum_{n=0}^7 x(n) W_8^{nk} \quad k=0,1,\dots,7 \quad (24)$$

şeklinde verilen temel denklemi elde edebiliriz. Bu denklemde n'e 0...7 arası değerler vererek,

$$X(k) = x(0)W_8^{0k} + x(1)W_8^{1k} + x(2)W_8^{2k} + x(3)W_8^{3k}$$

$$+ x(4)W_8^{4k} + x(5)W_8^{5k} + x(6)W_8^{6k} + x(7)W_8^{7k} \quad (25)$$

denklemi elde edebiliriz. 4 noktalı DFT'de olduğu gibi tek ve çift n'lerden oluşan x(n) terimlerini biraraya getirirsek aşağıdaki denklemi elde ederiz:

$$X(k) = x(0)W_8^0 + x(2)W_8^{2k} + x(4)W_8^{4k} + x(6)W_8^{6k}$$

$$+ x(1)W_8^k + x(3)W_8^{3k} + x(5)W_8^{5k} + x(7)W_8^{7k} \quad (26)$$

Ağırlık Faktörlerinin tanımından gelen bir özelliği burada kullanacağız:

$$e^{-j(2\pi/N)2nk} = e^{-j(2\pi/N/2)nk} \quad (27)$$

Yukarıdaki eşitliği ağırlık faktörleri cinsinden yazacak olursak,

$$W_N^{2nk} = W_{N/2}^{nk} \quad (28) \quad \text{eşitliğini elde ederiz.}$$

26. denklemde W_8^k 'yi dört terimden oluşan iki grupta ifade edersek.

$$\begin{aligned} X(k) &= x(0)W_8^0 + x(2)W_8^{2k} + x(4)W_8^{4k} + x(6)W_8^{6k} \\ &\quad + W_8^k[x(1)W_8^0 + x(3)W_8^{2k} + x(5)W_8^{4k} + x(7)W_8^{6k}] \end{aligned} \quad (29)$$

ve 28. denklemi de kullanırsak,

$$\begin{aligned} X(k) &= x(0)W_4^0 + x(2)W_4^k + x(4)W_4^{2k} + x(6)W_4^{3k} \\ &\quad + W_8^k[x(1)W_4^0 + x(3)W_4^k + x(5)W_4^{2k} + x(7)W_4^{3k}] \end{aligned} \quad (30)$$

denklemi elde ederiz. Aşağıdaki diziler tanımlanarak

$$x_1(n) = x(2n) \quad n=0,1,2,3$$

$$x_2(n) = x(2n+1) \quad n=0,1,2,3 \quad (31)$$

su denklem yazılabilir:

$$\begin{aligned} X(k) &= x_1(0)W_4^0 + x_1(1)W_4^k + x_1(2)W_4^{2k} + x_1(3)W_4^{3k} \\ &\quad + W_8^k[x_2(0)W_4^0 + x_2(1)W_4^k + x_2(2)W_4^{2k} + x_2(3)W_4^{3k}] \end{aligned} \quad (32)$$

Bu denklemin genel bir ifadesi,

$$X(k) = \sum_{n=0}^3 x_1(n)W_4^{nk} + W_8^k \sum_{n=0}^3 x_2(n)W_4^{nk} \quad k=0,1,\dots,7 \quad (33)$$

şeklinde verilebilir.

Birinci toplamı, $x_1(n)$ dizisinin 4 noktalı DFT'si ve ikinci toplamı, $x_2(n)$ dizisinin 4 noktalı DFT'si ile W_8^k 'nin çarpımı şeklinde ifade edersek, 8 noktalı DFT'ye ait şu denklemi bulabiliriz:

$$\begin{aligned}
 X(k) &= \sum_{n=0}^{N/2-1} x_1(n) W_{N/2}^{nk} + W_N^k \sum_{n=0}^{N/2-1} x_2(n) W_{N/2}^{nk} \\
 &= \sum_{n=0}^3 x(2n) W_4^{nk} + W_8^k \sum_{n=0}^3 x(2n+1) W_4^{nk} \\
 &= X_1(k) + W_8^k X_2(k) \quad k=0,1,\dots,7 \quad (34)
 \end{aligned}$$

Burada dikkat edilmesi gereken nokta $X_1(k)$ ve $X_2(k)$ 'nın 4 noktalı DFT'ye ait diziler olmasına rağmen k 'nın halen $0,1,\dots,7$ aralığında değerler almasıdır. 34. denklemden yola çıkarak aşağıdaki sonuçları elde edebiliriz:

$$X(0) = X_1(0) + W_8^0 X_2(0) = X_1(0) + X_2(0)$$

$$X(1) = X_1(1) + W_8^1 X_2(1)$$

$$X(2) = X_1(2) + W_8^2 X_2(2)$$

$$X(3) = X_1(3) + W_8^3 X_2(3)$$

$$X(4) = X_1(4) + W_8^4 X_2(4) = X_1(4) - X_2(4)$$

$$X(5) = X_1(5) + W_8^4 W_8^1 X_2(5) = X_1(5) - W_8^1 X_2(5)$$

$$X(6) = X_1(6) - W_8^2 X_2(6)$$

$$X(7) = X_1(7) - W_8^3 X_2(7) \quad (35)$$

$X(4)\dots X(7)$ 'nin aldığı değerler hesaplanırken,

$$W_N^{(n+l)k} = W_N^{nk} W_N^{lk}$$

$$W_N^{N/2} = -1$$

özelliklerinden faylanılmıştır. Ayrıca

$$X_1(k) = X_1(k+4)$$

ve

$$X_2(k) = X_2(k+4) \quad k=0,1,2,3 \quad (37)$$

eşitlikleri $X(4) \dots X(7)$ 'nın hesaplanmasıında kullanılsa 36. denklemde verilen eşitlikler aşağıdaki hale dönüşür:

$$X(0) = X_1(0) + X_2(0) \quad X(4) = X_1(0) - X_2(0)$$

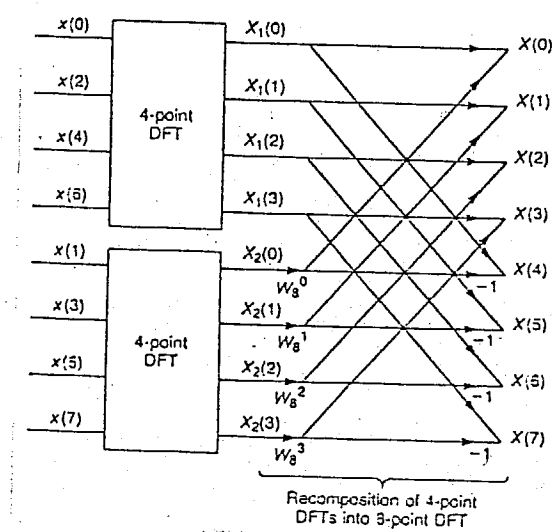
$$X(1) = X_1(1) + W_8^1 X_2(1) \quad X(5) = X_1(1) - W_8^1 X_2(1)$$

$$X(2) = X_1(2) + W_8^2 X_2(2) \quad X(6) = X_1(2) - W_8^2 X_2(2)$$

$$X(3) = X_1(3) + W_8^3 X_2(3) \quad X(7) = X_1(3) - W_8^3 X_2(3)$$

(38)

Bu denklemlere birleştirme "recomposition" denklemleri denir. Bu denklemlerin sinyal akış grafigi şekil 4'de gösterilmiştir.



ŞEKİL 4: 8 noktalı DFT'nin, iki tane 4 noktalı DFT'nin birleşimi şeklinde hesaplanması

Şimdi de, şekil 4'de gösterilen her 4 noktalı DFT için ayrıştırma işlemini gerçekleştirelim. Bu işlemi 4 noktalı DFT konusunda anlatıldığı gibi gerçekleştirirsek, aşağıdaki denklemleri elde edebiliriz:

$$\begin{aligned}
 X_1(k) &= [x(0) \text{ ve } x(4)' \text{nin 2-point-DFT'si}] \\
 &\quad + W_4^k [x(2) \text{ ve } x(6)' \text{nin 2-point-DFT'si}] \\
 &= X_{1a}(k) + W_4^k X_{1b}(k) \quad k=0,1,2,3 \quad (39)
 \end{aligned}$$

ve

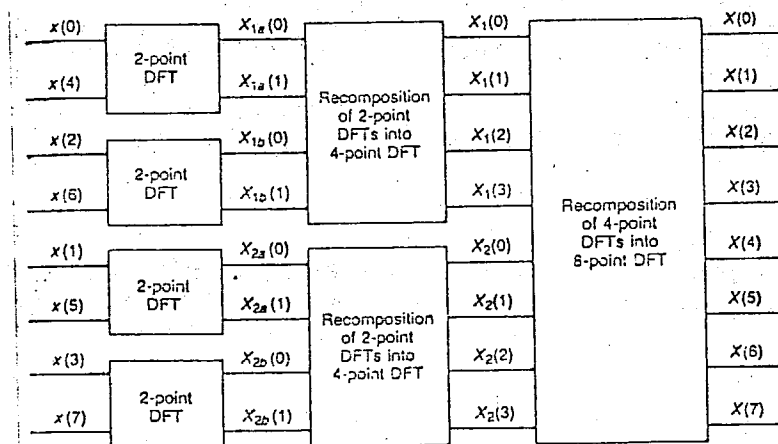
$$\begin{aligned}
 X_2(k) &= [x(1) \text{ ve } x(5)' \text{nin 2-point-DFT'si}] \\
 &\quad + W_4^k [x(3) \text{ ve } x(7)' \text{nin 2-point-DFT'si}] \\
 &= X_{2a}(k) + W_4^k X_{2b}(k) \quad k=0,1,2,3 \quad (40)
 \end{aligned}$$

39 ve 40 no.lu denklemlerden aşağıdaki birleştirme denklemleri elde edilir:

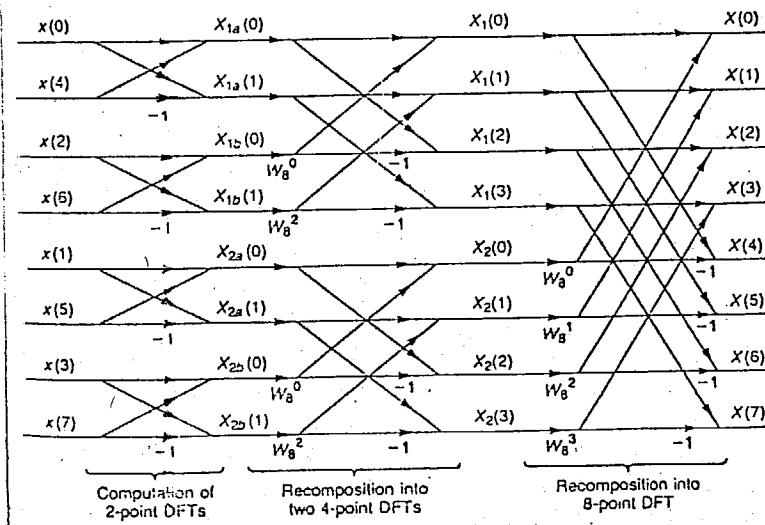
Şekil 5'de işlemin bütün basamaklarının blok diyagramı ve detaylı sinyal akış yolları gösterilmiştir. Şekil 5.b'ye dikkat edilirse, işlemleri basitleştirmek için bütün ağırlık faktörlerinin W_N 'in kuvvetleri olan terimlerle ifade edilmiş olduğu görülebilir. Bu, 28. denklemde verilen,

$$W_N^{2nk} = W_{N/2}^{nk}$$

özelliği kullanılarak yapılır.

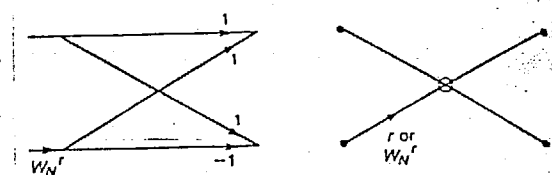


ŞEKİL 5.a: 8 noktalı DFT'nin, 2 noktalı ve 4 noktalı DFT'lerin birleşimi şeklinde hesaplanmasıının blok diyagramla gösterimi

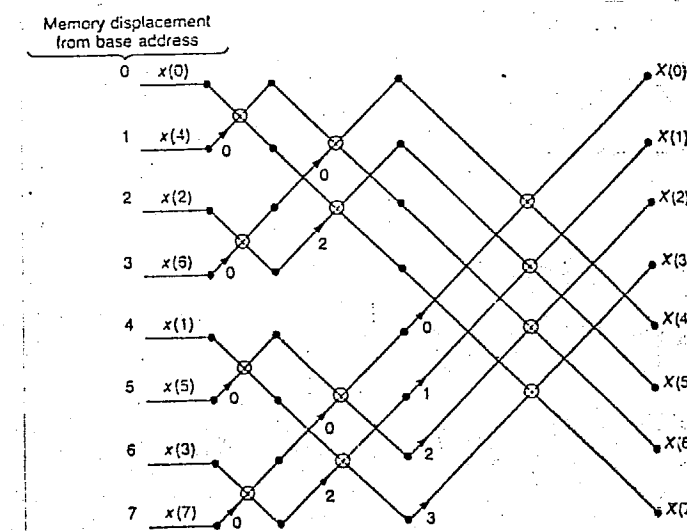


ŞEKİL 5.b: 8 noktalı DFT'nin, 2 noktalı ve 4 noktalı DFT'lerin birleşimi şeklinde hesaplanmasıının sinyal akış grafiği ile gösterimi

Şekil 5.b'deki sinyal akış yollarının oldukça karmaşık olması nedeniyle Şekil 6.a'daki butterfly hesaplarının kısa gösterimi yolu tercih edilir. Bu metod kullanılarak Şekil 6.b çizilmiştir.



ŞEKİL 6.a: Butterfly hesaplarının akış grafiği ve kısa gösterimi



ŞEKİL 6.b: Kısa gösterim kullanılarak çizilmiş 8 noktalı FFT

Şimdi, DFT'nin tanım denklemiyle yapılan hesaplarda gereken ve bulduğumuz denklemelerle yapılan hesaplarda gereken işlem sayısını karşılaştıralım:

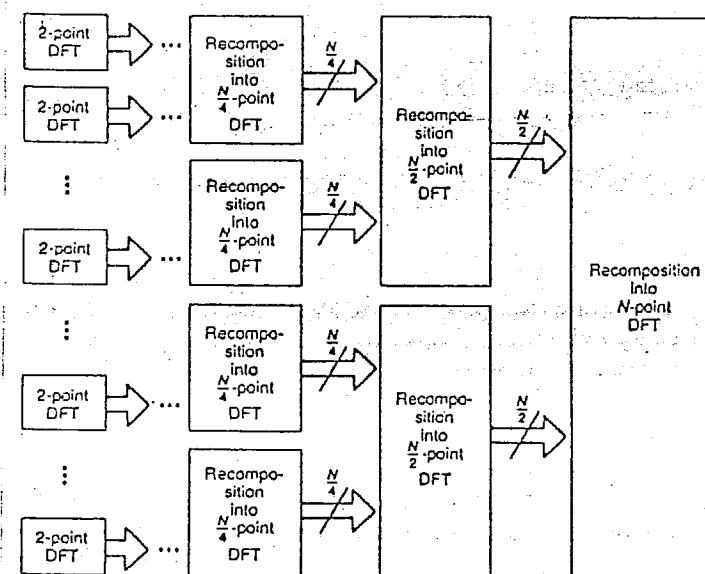
DFT'nin tanımında,

$$X(k) = \sum_{n=0}^{N-1} x(n) e^{-j(2\pi/N)nk}$$

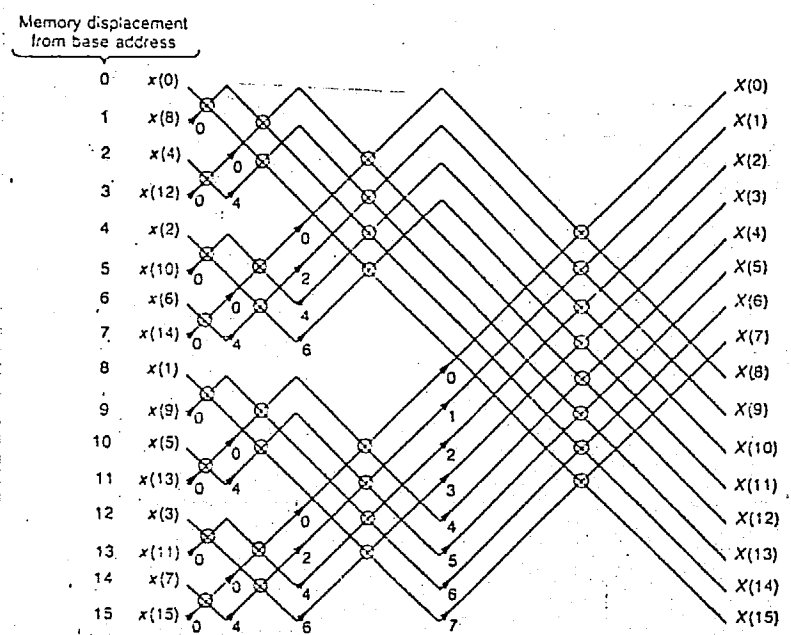
$$= \sum_{n=0}^{N-1} x(n) W_N^{nk} \quad k=0,1,\dots,N-1 \quad (42)$$

olarak verilmiştir.

Şekil 6.b ve şekil 8'e bakılırsa hesapların çeşitli adımlara bölündüğü görülebilir. Bulduğumuz denklemelerle yapılan hesaplarda $N/2$ tane 2 noktalı DFT işlemine ihtiyaç vardır.



ŞEKLİ 7: N noktalı DFT'nin 2 noktalı DFT'lerin birleşimi şeklinde hesaplanması



ŞEKLİ 8 : 16 noktalı FFT. Bit-reversed girişler ve sıralı çıkışlar kullanılmıştır.

Ayrıca,

$$\frac{N}{2^R} = 2 \quad (43)$$

denklemiyle tanımlanan R kadar birleştirme adımına ihtiyaç olacaktır. 43. denklem 2 tabanına göre logaritması alınırsa,

$$\log_2 N - \log_2 2^R = \log_2 2 \quad (44)$$

$$\log_2 N - R = 1$$

ve

$$R = \log_2 N - 1 \quad (45)$$

bulunur. Bundan dolayı 2 noktalı DFT'nin hesabı için gereken toplam adım sayısı R+1 tanedir ya da

$$\text{adım sayısı} = \log_2 N \quad (46)$$

şeklinde ifade edilebilir.

Her adımda $N/2$ tane butterfly hesabı gereklili olduğu için $\log_2 N$ adımda toplam T_B tane butterfly gereklidir.

$$\text{Butterfly sayısı} = \frac{\text{Butterfly sayısı}}{\text{adım}} \cdot \text{adım sayısı} \quad (47)$$

$$T_B = \frac{N}{2} \log_2 N, \quad N: 2' nin herhangi bir kuvveti \quad (48)$$

Genel olarak her bir butterfly için bir kompleks çarpma işlemi (genellikle bir toplama ve bir çıkarma işlemi) yapılır. Böylece DIT algoritması kullanılırsa gerekli olan kompleks çarpma işlemi sayısı 48. denklemden bulunabilir.

DFT hesaplarında kullanılan standart denklem daha önce verilmiştir:

$$X(k) = \sum_{n=0}^{N-1} x(n) W_N^{nk} \quad (49)$$

Bu yöntem kullanılırsa, denklemden de anlaşılabileceği gibi N^2 tane kompleks çarpma işlemine ihtiyaç duyulur. Standart DFT hesaplarında ve DIT algoritması için gerekli kompleks çarpma işlemi sayılarının karşılaştırılması Tablo-1'de verilmiştir.

sayılarımın, karekökləştiirməsi
Gördüyümüz, gibi FFT, standart DFT'ye göre daha hızlı hesaplaması
TABLO 1: Standart DFT ve DIT üçün gerekli olan kompleks çarpma işlemi
Biraz önce anlatılan DIT, algoritması ile qalısan bir bilgisayar programı
yazmak üçün aktivlik faktörlerinin nasıl üretileceğin göstəren formülərə ve nənə
noktalırmışdır. Bu sayılı aktivlik faktörlerini hesab etmək üçün
gerçekmektedir. Şekil 6.b ve Şekil 8.in incələnməsi ilə aktivlik faktörlerinin
görəbilirləz. Eger BUTTERFLY basamaklarını 1'den başlatırsak ve 2'den devam
edərək 10³, N'e kadar ilerletirsek aktivlik faktörleri arasındakı artımıda N^2 ilə
şinval akışları trafiklərinə olduğunun sırasıyla hər zaman aktivlik faktörlerinin
göstərişinə, a/N/2 ilə L, basamağı isaret edər. Simdi sırası dizişti deşərlərinin,
örnək olaraq Şekil 8'de, x(0) tabanı adresində, x(8) tabanı adresində, x(4)
sayılarımın, karekökləştiirməsi
Gördüyümüz, gibi FFT, standart DFT'ye göre daha hızlı hesaplaması
TABLO 1: Standart DFT ve DIT üçün gerekli olan kompleks çarpma işlemi
Biraz önce anlatılan DIT, algoritması ile qalısan bir bilgisayar programı
yazmak üçün aktivlik faktörlerinin nasıl üretileceğin göstəren formülərə ve nənə
noktalırmışdır. Bu sayılı aktivlik faktörlerini hesab etmək üçün
gerçekmektedir. Şekil 6.b ve Şekil 8.in incələnməsi ilə aktivlik faktörlerinin
görəbilirləz. Eger BUTTERFLY basamaklarını 1'den başlatırsak ve 2'den devam
edərək 10³, N'e kadar ilerletirsek aktivlik faktörleri arasındakı artımıda N^2 ilə
şinval akışları trafiklərinə olduğunun sırasıyla hər zaman aktivlik faktörlerinin
göstərişinə, a/N/2 ilə L, basamağı isaret edər. Simdi sırası dizişti deşərlərinin,
örnək olaraq Şekil 8'de, x(0) tabanı adresində, x(8) tabanı adresində, x(4)

N	Standart DFT	FFT	DFT/FFT orani
2	1	1	4.0
4	16	4	4.0
8	64	12	5.3
16	256	32	8.0
32	1024	80	12.8
64	4096	192	21.3
128	16384	448	36.6
256	65536	1024	64.0
512	262144	2304	113.8
1024	1048576	5120	204.8
2 ^{-N} =10 ³	=10 ³	=10 ³	=10 ³

taban adresi+2'de yer alır. Böylece $x(0)$ ve $x(8)$ birbirlerinin hafıza bölgelerinden ayrılmıştır. Aynı şekilde $x(0)$ ve $x(4)$ de ayrılmıştır. Butterfly aralıklarının L. basamağı, görüldüğü gibi $2^{\frac{L-1}{2}}$ dir ve butterfly hesaplarında yer alan noktaların hafıza adreslerinin ayrılması bu yolla olur.

Ayrıca, giriş verilerinin sırasının da adreslenmesi gereklidir. Şekil 6.b ve şekil 8'i tekrar incelersek çıkışın bizim istediğimiz gibi normal sırasında olduğunu fakat girişin sıralı olmadığını görebiliriz. Giriş verilerini de sıralı hafıza adreslerine koymalıyız. Bu işlem için $x(0), x(1), \dots, x(N-1)$ değerlerini şekil 6.b'de ve şekil 8'de gösterilen hafıza adreslerinde saklamalıyız. Bu işlem, "bit-reversing" olarak bilinen bir algoritma kullanarak yapılır. Şimdi, bu düşünceyi ifade etmek için binary formda bir dizi ele alalım. Eğer, dizi 16 elemanlı ise adresler

$$0000, 0001, 0010, 0011, \dots, 1111 \quad (50)$$

şeklinde olmalıdır. Dizi değerleri ise

$$x(0), x(1), x(2), x(3), \dots, x(15) \quad (51)$$

sırasında olmalıdır.

Dizinin bir elemanın hafıza adresini hesaplamak için, basitçe, onun binary adresinin bitlerini tersine çeviririz. Örneğin:

$$x(3)=x(0011) \rightarrow 1100 \text{ veya decimal } 12$$

Böylece $x(3)$, 12. hafıza adresinde saklanır. Tablo 2'de 16 noktalı bir dizi için ayrılmış hafıza adresleri verilmiştir. Bu tabloyu şekil 8 ile karşılaştırarak bu algoritmanın ayrılmış hafıza adreslerinin hesaplanmasındaki kullanımını görebiliriz.

Sıralı eleman	Binary adres	Bit-reversed adres	Taban adresi + bit-reversed adres
x(0)	0000	0000	0
x(1)	0001	1000	8
x(2)	0010	0100	4
x(3)	0011	1100	12
x(4)	0100	0010	2
x(5)	0101	1010	10
x(6)	0110	0110	6
x(7)	0111	1110	14
x(8)	1000	0001	1
x(9)	1001	1001	9
x(10)	1010	0101	5
x(11)	1011	1101	13
x(12)	1100	0011	3
x(13)	1101	1011	11
x(14)	1110	0111	7
x(15)	1111	1111	15

TABLO 2 : Bit-reversed düzennin hesaplanması

2.1.1 DIT Algoritmasının Bilgisayara Uyarlanması

Şimdi de DIT algoritması için bilgisayar programlarının nasıl geliştirileceğine bakalım. Basitçe, iki ana bölüme ihtiyacımız var. Birincisi "bit-reversing" işlemlerini gerçekleştirmek, ikincisi butterfly hesaplamaları için adımları gerçekleştirmek. İlk olarak bit-reversing işlemlerini gerçekleştirelim:

Eğer giriş dizisi olarak elimizde N nokta varsa (N 'in 2 'nin herhangi bir kuvveti olduğuna göre), bu noktaların yerleşeceği adresler aşağıdaki gibi olmalıdır:

$$A = b_{M-1}2^{M-1} + b_{M-2}2^{M-2} + \dots + b_12^1 + b_02^0 \quad (53)$$

Burada $M = \log_2 N$ ve b_i için $i = 0, 1, \dots, M$ 'dir. b_i ya 0 ya da 1'dir. Bu adresin bit-reversed hali aşağıdaki gibi olur:

$$A_R = b_02^{M-1} + b_12^{M-2} + \dots + b_{M-2}2^1 + b_{M-1}2^0 \quad (54)$$

$0, 1, 2, \dots, N-1$ şeklindeki desimal adresleri kullanabilmek için önce binary katsayıları olan b_0, b_1, \dots, b_M 'i hesaplamalı ve 54. denklemdeki aritmetik işlemleri yaparak yeni adresleri oluşturmalıyız. Örnek olarak şekil 6'daki gibi verilmiş olan 8 noktalı bir giriş dizisi tanımlanmış olsun. $N = \log_2 8 = 3$ bulunur ve bu değer aynı zamanda butterfly basamaklarının sayısıdır. $x(6)$ veri değeri için binary adres 110'dur ve bunun kısaca gösterimi $1*2^2 + 1*2^1 + 0*2^0 = 6$ (desimal)'dir. Bit-reversed adres ise $0*2^2 + 1*2^1 + 1*2^0 = 3$ 'tur. Şekil 6'dan da görüldüğü gibi $x(6)$, taban adresinden sonraki 3. adres'e yerleştirilmiştir.

Bu işlemleri yapan bir program yapabilmek için b_0, b_1, \dots, b_M katsayılarını hesaplamaya ihtiyacımız vardır. En düşük değerlige sahip b_i bit'i için desimal adres 2^i 'ye bölünür ve kalan değeri b_i 'a konur. Kalanın daima 0 veya 1 olacağını dikkat etmeliyiz. Bazı programlama dillerinde (örneğin FORTRAN) kalanı hesaplamak için özel fonksiyonlar mevcuttur. Biz, böyle bir fonksiyonun var olduğunu kabul edelim ve bu fonksiyona MODula kelimesinden gelen MOD ismini verelim. Bu fonksiyonun iki argümanı vardır ve aşağıdaki gibi kullanılır:

$$x <-- \text{MOD}(A < 2)$$

A 'nın 2^i 'ye bölünmesinde elde edilecek kalan değeri x 'e konur. Önce b_i , ardından b_i hesaplanır. Bunun için orijinal desimal adres ikiye bölünür. Kalan ayrılır ve tekrar MOD fonksiyonu kullanılır. Bunun neden yapıldığını anlayabilmek için 53. denklemin ikiye bölünmesi ile elde edilen aşağıdaki

denklemi inceleyelim:

$$b_{M-1}2^{M-2} + b_{M-2}2^{M-3} + \dots + b_12^0 + b_02^{-1} \quad (55)$$

Bu denklemde en sağdaki eleman, kalanı verir, b_j 'i bulabilmek için, kalanı ayırıp $A = b_{M-1}2^{M-1} + b_{M-2}2^{M-2} + \dots + b_12^0$ şeklinde bir fonksiyon elde etmeli ve $\text{MOD}(A', 2)$ işlemi ile kalanı b_j olarak almamız gereklidir. Ardından b_j, b_{j-1}, \dots, b_0 katsayılarını bulmak için bu işleme devam etmeliyiz.

b_j 'lerin hesaplanması amacıyla 54. denklemdeki toplamlar için kısmi sonuçlar elde ederek programın etkinliğini artıtabiliriz.

Az önce anlatılan yöntemle bit-reversal değerlerinin elde edilmesini gösteren Pseudocode'lar (sahte, yalancı kod) aşağıda verilmiştir.

($M = \log_2 N$ 'dır. Giriş verileri bir boyutlu kompleks dizi olan $X TMP(0), \dots, X TMP(N-1)$ dizisine yerleştirilmektedir. Ve bit-reversal çıkış verileri yine bir boyutlu kompleks dizi olan $x(0), x(1), \dots, x(N-1)$ dizisine yerleştirilmektedir.)

DO FOR K<--0 TO N-1

(Yeni adres ve geçerli adresin hazırlanması)

 NEWADR<--0

 MADDR<--K

 DO FOR I<--0 TO $\frac{N}{2}-1$

 LRMNDR<--MOD(MADDR, 2)

 NEWADR<--NEWADR+LRMNDR $\cdot 2^{\frac{N-1}{2}-I}$

 MADDR<--MADDR/2

 (famsayı bölme yapıldığı için kalan oluşmuyor.)

 END DO

 X(NEWADR)<--X TMP(K)

END DO

Programın butterfly'ları değerlendiren kısmı içe içe üç döngüden oluşmuştur. Bunlardan biri "stage low" (düşük adım)'dır. Örneğin 8 noktalı FFT için 3 tane butterfly basamağı olacaktır. Diğer iki döngü ise butterfly hesaplarında yer almaz ve ağırlık faktörü W_N 'in uygun bileşenlerini düzenlemek için hafızadan noktaların seçilmesi ile ilgilidir. Şekil 6'ya bakarsak butterfly hesaplarında verilen bir adımda işlem yapmak için en az iki yol olduğunu farzedebiliriz. Bunlardan birincisi basitçe en baştan en sona (veya en sondan en başa) doğru hafızadaki noktaları almak ve $W_N^k = e^{-j(2\pi/k)}$ ağırlık faktörünü

hesaplamak ve butterfly çıktılarını aşağıdaki denkleme göre düzenlemektir:

$$X_{\text{NEW}}(\text{TOP}) = X_{\text{OLD}}(\text{TOP}) + W_N^R \cdot X_{\text{OLD}}(\text{BOT})$$

$$X_{\text{NEW}}(\text{BOT}) = X_{\text{OLD}}(\text{TOP}) - W_R^N \cdot X_{\text{OLD}}(\text{BOT}) \quad (56)$$

Bu denklemlerde TOP:En yüksek mertebe

BOT=BOTTOM:En alçak mertebe manalarına gelmektedir.

Bu tür hesaplamanın dezavantajı, kompleks değerli ağırlık faktörlerinin her adımda tekrar tekrar hesaplanmak zorunda oluşudur. Bundan kaçınmanın yolu $|W|$ değerini verilen bir adım için hesaplamak ve bütün butterfly'larda bu ağırlık faktörünü kullanmaktır. Örneğin, şekil 8'de ikinci adımda önce $|W_1|$ ağırlık faktörünü kullanan 4 butterfly'i hesaplayıp, ardından $|W_2|$ 'u kullanan 4 butterfly'i hesaplayacağız ve bu işlem diğer adımlarda devam edecek. İşte kullanacağımız yöntem budur.

IWIDTH'i bir butterfly'da özel olarak ayrılmış hafıza noktalarını ifade etmek için ve ISPACE'i aynı ağırlık faktörlerini kullanan tepe noktalarının ayrılmasını ifade etmek için kullanıyoruz. Şekil 8'e tekrar bakarsak ikinci adımda IWIDTH=2 ve ISPACE=4 olduğunu görebiliriz. Aynı şekilde üçüncü adımda IWIDTH=4 ve ISPACE=8 dir. Genel olarak L. adımda:

$$IWIDTH = 2^{L-1} \quad (57)$$

$$ISPACE = 2^L \quad (57)$$

olduğu görülebilir.

Ayrıca $W_j = e^{\frac{j\pi}{N}}$ 'in bileşeni olan miktar, ardarda olan butterfly'larda L. adımda

$$S = N/2^L \quad (59)$$

kadar değişir.

Ayrıca 56. denklemi hafıza kullanımını kolaylastırın eşdeğer bicimi yazılabilir. Önce, bir butterfly, kendisinin giriş değerleri ile ifade edilebilir. 56. denklem aşağıdaki gibi yazılabilir:

$$TMP = W_N^R \cdot X(BOT)$$

$$X(BOT) = X(TOP) - TMP$$

$$X(TOP) = X(TOP) + TMP \quad (60)$$

60. denklemin son iki eşitliğinin yazılım sırası önemlidir. Bu iki eşitliğin yer degiştirmesi ile aynı sonuc elde edilemez.

Aşağıda FFT programının butterfly değerlendirmesinin pseudocode'u verilmiştir:

(giriş verilerinin bit-reversed şeklinde $x(0), x(1), \dots, x(N-1)$ kompleks dizisinde saklandığı farzediliyor).

PI<--3.141593

DO FOR L<--1 TO M

 ISPACE<--2^L

 S<--N/2^L

 IWIDTH<--2^{L+1}

 (Yukarıdaki üç komut şu şekilde yazılsa daha kolay hesaplanabilir: ISPACE<--2^L; S<--N/ISPACE; IWIDTH<--ISPACE/2).

 DO FOR J<--0 TO (IWIDTH-1)

 R<--S·J

 ALPHA<--2·PI·R/N

 WTFAC<--CMPLX (COS(ALPHA), -SIN(ALPHA))

 DO FOR ITOP<--J TO (N-2) BY STEPS OF ISPACE

 IBOT<--ITOP+IWIDTH

 TMP<--X(IBOT)·WFAC

 X(IBOT)<--X(ITOP)-TMP

 X(ITOP)<--X(ITOP)+TMP

 END DO

 END DO

END DO

Programda (SIN) ve (COS) fonksiyonlarının ve a ile b reel değerlerini alarak atjb kompleks değerini üreten CMPLX(a,b) fonksiyonunun var olduğu kabul edilmiştir. Çalışır bir FFT programının ortaya konmasında şekil 10 ve şekil 11'de verilen kodlar ile giriş değerlerini okuyan ve giriş-çıkış değerlerini yazan ve/veya çizen uygun kodlar birleştirilir.

2.2 Decomposition in Frequency (DIF) :

FFT işlemlerinde diğer yol da Decomposition-Decimation In Frequency (frekansta ayristirma) DIF olarak bilinir. Takip edilen yol Decomposition In Time (DIT) ile benzerdir ve eşit sayıda çarpma kullanır. Bu bölümde basitçe DIF algoritmasının çıkarılmasını anlatacağız ve bu algoritmayı az önce anlatılan DIT yöntemi ile karşılaştıracağız.

Başlangıç noktası DFT'nin tanımındaki ile aynıdır.

$$X(k) = \sum_{n=0}^{N-1} x(n) W_N^{nk} \quad k=0,1,\dots,N-1 \quad (61)$$

DIT algoritmasında, zaman dizisini tek ve çift indisler içeren alt dizilere böleceğiz. DFT'nin alt dizilerinin $x(n)$ dizisinin alt ve üst yaralarının birleşimi olduğunu göz önüne alacağız. Bu işlemi yaparsak DFT'yi aşağıdaki gibi yazabiliriz:

$$X(k) = \sum_{n=0}^{N/2-1} x(n) W_N^{nk} + \sum_{n=N/2}^{N-1} x(n) W_N^{nk} \quad k=0,1,\dots,N-1 \quad (62)$$

İkinci toplam aşağıdaki gibi yazılabilir:

$$\begin{aligned} \sum_{n=N/2}^{N-1} x(n) W_N^{nk} &= \sum_{n=0}^{N/2-1} x\left(n+\frac{N}{2}\right) W_N^{(n+N/2)k} \\ &= \sum_{n=0}^{N/2-1} x\left(n+\frac{N}{2}\right) W_N^{(N/2)k} W_N^{nk} \quad (63) \end{aligned}$$

ek olarak:

$$W_N^{(N/2)k} = e^{-j(2\pi/N)(N/2)k} = e^{-j\pi k} = (-1)^k \quad (64)$$

Böylece 62. no.lu denklemde verilen $X(k)$, aşağıdaki gibi yazılabilir:

$$X(k) = \sum_{n=0}^{N/2-1} [x(n) + (-1)^k x\left(n+\frac{N}{2}\right)] W_N^{nk} \quad k=0,1,\dots,N-1 \quad (65)$$

Bu işlemin $N/2$ noktalı DFT'den tek farkı $W_{N/2}^{nk}$ yerine W_N^{nk} kullanılmış olmasıdır. Toplamanın ikinci teriminde bulunan $(-1)^k$ k'nın çift değerlerinde

1, tek değerlerinde -1 olacaktır. Bu nedenle k'nın tek ve çift değerlerini ayrı ayrı dikkate almak zorundayız. DIF algoritmasında frekansta ayırtırmayı çift k'larla yaparsak:

$$X(2k) = \sum_{n=0}^{N/2-1} [x(n) + x(n + \frac{N}{2})] W_N^{nk} \quad k=0,1,\dots,\frac{N}{2}-1 \quad (66)$$

tek k'lar için denklemimiz şu hale gelir:

$$X(2k+1) = \sum_{n=0}^{N/2-1} [x(n) - x(n + \frac{N}{2})] W_N^{(2k+1)n} \quad k=0,1,\dots,\frac{N}{2}-1 \quad (67)$$

Ayrıca,

$$W_N^{2nk} = e^{-j(2\pi/(N/2))nk} = W_{N/2}^{nk} \quad (68)$$

$$W_N^{(2k+1)n} = W_N^n \cdot W_N^{2kn} \quad (69)$$

olduğunu dikkate alırsak 68. denklemi kullanarak

$$W_N^{(2k+1)n} = W_N^n \cdot W_{N/2}^{nk}$$

denklemi elde edebiliriz. Böylece 66. denklemi şu şekilde yazabiliyoruz:

$$X(2k) = \sum_{n=0}^{N/2-1} [x(n) + x(n + \frac{N}{2})] W_{N/2}^{nk} \quad k=0,1,\dots,\frac{N}{2}-1 \quad (71)$$

Bu denklemi kelimele ifade etmek gereklidir :

$$X(2k) = [x(n) + x(n + \frac{N}{2})] \text{ dizisinin } \frac{N}{2} \text{ noktalı DFT'si} \quad (74)$$

Benzer yoldan 69. denklemi kullanarak 67. denklem,

$$X(2k+1) = \sum_{n=0}^{N/2-1} [x(n) - x(n + \frac{N}{2})] W_N^n W_{N/2}^{nk}$$

$$k=0,1,\dots,\frac{N}{2}-1 \quad (73)$$

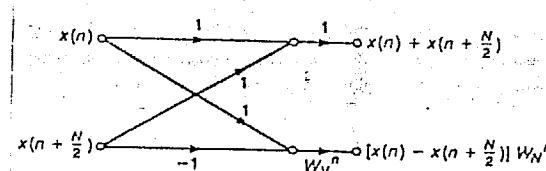
ve bu deklemi kelimelerle ifade edersek:

$$X(2k+1) = [x(n) - x(n + \frac{N}{2})] W_N^n / \text{nin } \frac{N}{2} \text{ noktali DFT'si} \quad (74)$$

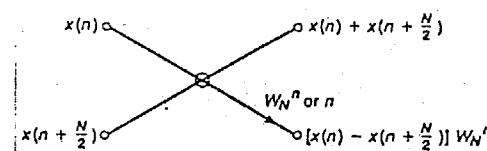
Bu denklemlerin, sinyal akış grafigi gösterimini kullanarak hesaplamalarda neyin uygulanmasına ihtiyaç duyulacağına karar verebiliriz. 71 ve 73. denklemler için önce aşağıdaki diziler elde edilmelidir:

$$x(n) + x(n + \frac{N}{2}) \quad (75)$$

$$[x(n) - x(n + \frac{N}{2})] W_N^n \quad (76)$$

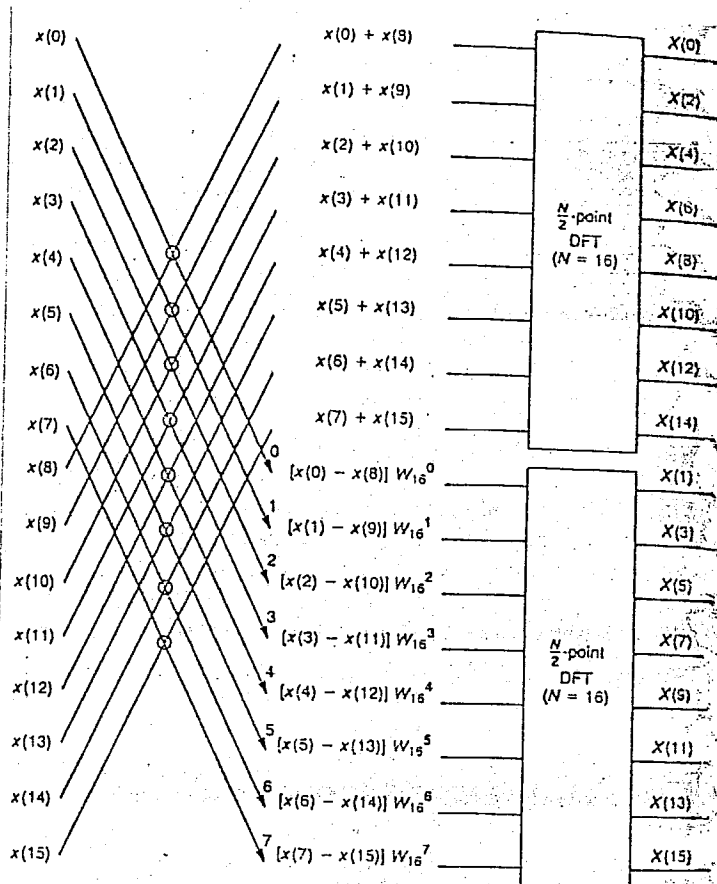


SEKİL 9.a : DIF butterfly için sinyal akış grafigi

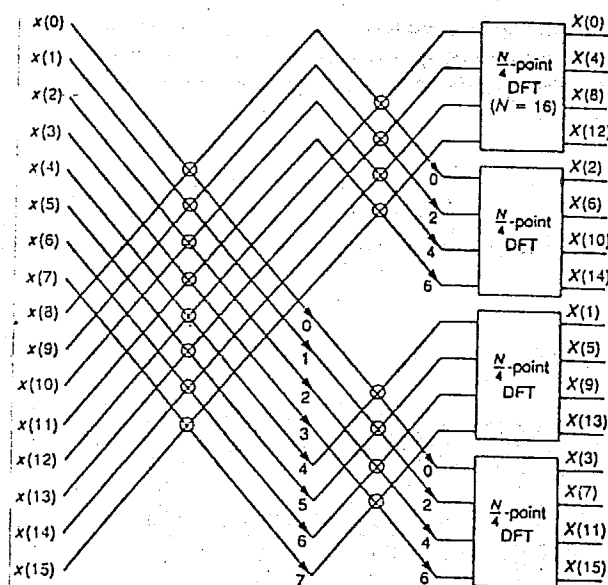


SEKİL 9.b : DIF butterfly için kısa gösterim

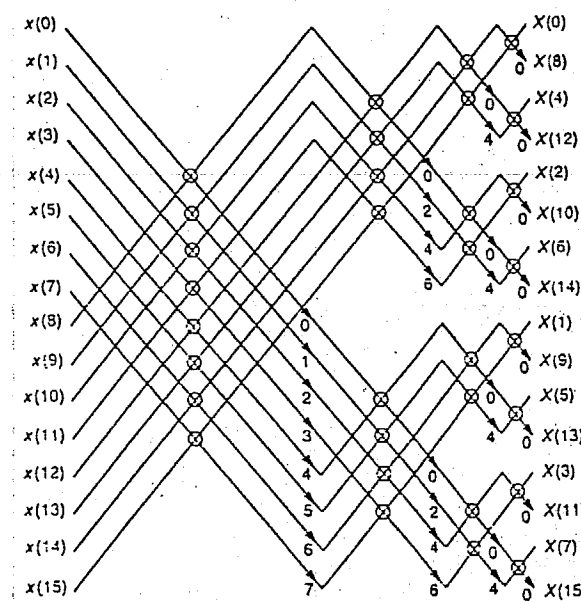
Şekil 9.a'da sinyal akış grafigi gösterimi ve şekil 9.b'de onun kısa gösterimi verilmiştir. 16 noktalı DFT için bu gösterimin kullanılışı şekil 10'da verilmiştir. Bu işlem şekil 11'de gösterildiği gibi her 8 noktalı DFT'yi 2'şer tane 4 noktalı DFT'ye dönüştürmek için tekrar ettirilir. Bu işlemin kısa gösterim kullanılarak yapılan sinyal akış grafigi şekil 12'de verilmiştir.



SEKİL 10 : DIF - ilk adım



SEKİL 11 : DIF için ilk iki ayrıştırma adımı



ŞEKİL 12 : 16 noktalı DFT'nin DIF metodu ile hesaplanması

Şekil 12'yi, şekil 8'deki 16 noktalı DIT çözümü ile karşılaştırırsak, tekrar, karakteristik butterfly yapısı ile karşılaşırız. DIF algoritmasında butterfly'ların $\log_2 N$ tane adımı olduğu görülebilir ve her adımda $N/2$ tane kompleks butterfly hesaplaması vardır. DIT butterfly'ları toplama ve çıkarmaya göre öncelikli olarak ağırlık faktörleri yoluyla çarpmaya ihtiyaç duymaktadır. Oysa DIF algoritmasında toplama ve çıkardan sonra ağırlık faktörleri yoluyla çarpmayı yapmaktadır. Bununla beraber her iki algoritmda kompleks çarpma sayıısı

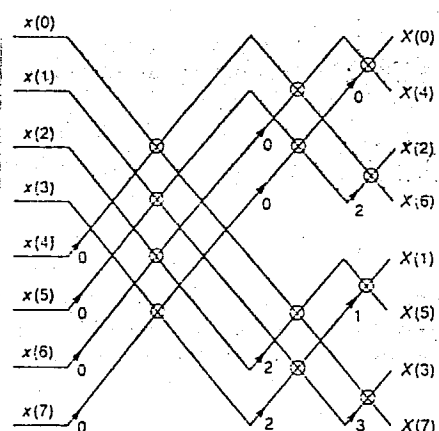
$$T_B = \frac{N}{2} \log_2 N \quad (N, 2'nin herhangi bir kuvveti) \quad (77)$$

kadardır.

DIT algoritmasında 15. denklemde de görüldüğü gibi ağırlık faktörleri periyodiktir ve her periyodik örnek 0 bileşeninden başlamaktadır. Butterfly adımlarını soldan sağa i. adımdan başlayarak tekrar numaralandırırsak ve bu işlemi $\log_2 N$ adımlına kadar sürdürürsek L. adımda ağırlık faktörleri arasındaki artırmaya miktarı $2^{(L-1)}$ dir. L. adımda butterfly'a iştirak eden noktalara ayrılan hafıza bolgesi $N/2^L$ dir. Burada bileşenlerin arttırılmasının ve hafıza ayrılmalarının DIF ve DIT algoritmalarında rollerini değişikleri dikkati çekmektedir. Aslında bu iki algoritma, duality (ikilik) formunda karakterize edilmektedir. DIF için normal düzende giriş dizisi kullanılması bu sonucu kuvvetlendirir ve çıkışta alınan dizi bit-reversed dizenededir. Oysa DIT algoritmasında bunun tersi doğrudur.

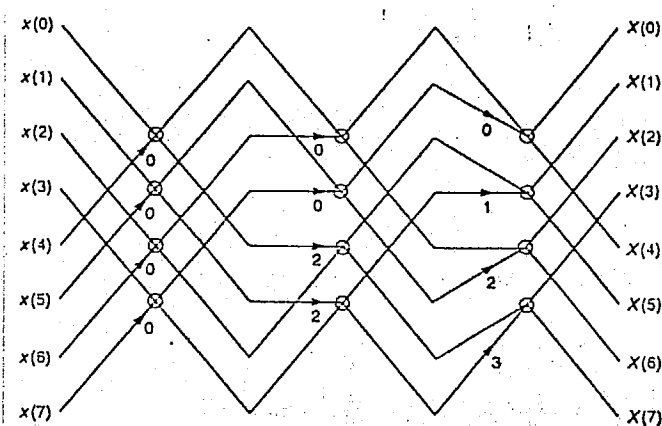
2.3 DIT ve DIF Algoritmalarında Yapılabilecek Değişiklikler:

DIT ve DIF algoritmalarının sinyal akış grafiği gösterimlerine bakılırsa daha farklı düzenlemeye sahip grafiklerin de çizilebileceği görülebilir. Çıkış noktamızda olduğu gibi şekil 6'da gösterilen 8 noktalı DFT şeklini kullanalım. Uygun giriş değerleri ağırlık faktörleriyle beraber butterfly'larda yer almaya devam ettikçe grafik gösterimi doğru giriş-cıkış bağlantılarını koruyacak şekilde çok değişik biçimlerde yeniden düzenlenebilir. Örneğin giriş datalarımızın normal sırasında ve çıkış datalarımızın bit-reversal düzende olmasını isteyebiliriz. Şekil 13'de bu problemin çözümü olan sinyal akış grafiği, kısa gösterimi kullanılarak çizilmiştir. Şekil 6 ve şekil 13'ü karşılaştırırsak, iki data değeri bir butterfly hesaplamasında giriş değerleri olarak kullanılırsa çıkışta elde edilen değerin giriş değerlerini saklayan bölgeye konabileceğini görebiliriz. Çünkü daha sonraki hesaplama larda da daha büyük bir bölgeye ihtiyaç duyulmayacaktır. Bu özelliğinden dolayı şekil 6 ve şekil 13'de gösterilen FFT'ler "inplace" algoritmaları olarak adlandırılır.



SEKL 13 : 8 noktalı DIT FFT. Girişler normal sırasında, çıkışlar ise bit-reversed düzenededir.

Diğer bir düzenleme ise giriş ve çıkış datalarını normal sıralarına koymaktır. Şekil 14'de bunun nasıl yapılabileceği gösterilmiştir. Bu işlem inplace algoritmalarından daha uzun değildir. Çünkü birinci adımdan sonra hangi datanın butterfly hesaplamalarında yer aldığı gösteren giriş değerini saklayan bir bölgeyi her zaman kullanmıyoruz. Bu nedenle her basamakta geçici saklama bölgeleri gerekmektedir.



ŞEKL 14 : 8 noktalı DIT FFT. Giriş ve çıkışlar normal sırasında.

Diger birçok düzenlemeler mümkündür. Bazı alternatifler özel hardware yetenekleri kullanarak yapılabilir. Örneğin bir anda birden fazla butterfly'in paralel işlem görmesi FFT hesaplarının hızını artıracaktır.

3.0 FFT PROGRAMININ GELİŞTİRİLMESİ

3.1 AKIŞ ŞEMASI

FFT programı akış şeması şekil 15'de gösterilmiştir. Program 4 ana bölümünden oluşur:

1. Datanın alınması
2. Ön işlemler
3. FFT işlemleri
4. Son işlemler

Akış şeması, hem C programına hem de ASM96 programına uyarlanabilir.

1. Bölümde, FFT işleminin uygulanacağı örneklenmiş değerler programa verilir.

2. Bölümde, FFT hesaplarında kullanılacak olan bazı değerler hesaplanır. C programı için 'Weighting Factor' dizilerinin oluşturulması, ASM96 programı için FFT_OUT dizisinin temizlenmesi ve Stack Pointer'a değer atanması bu bölümde gerçekleştirilir.

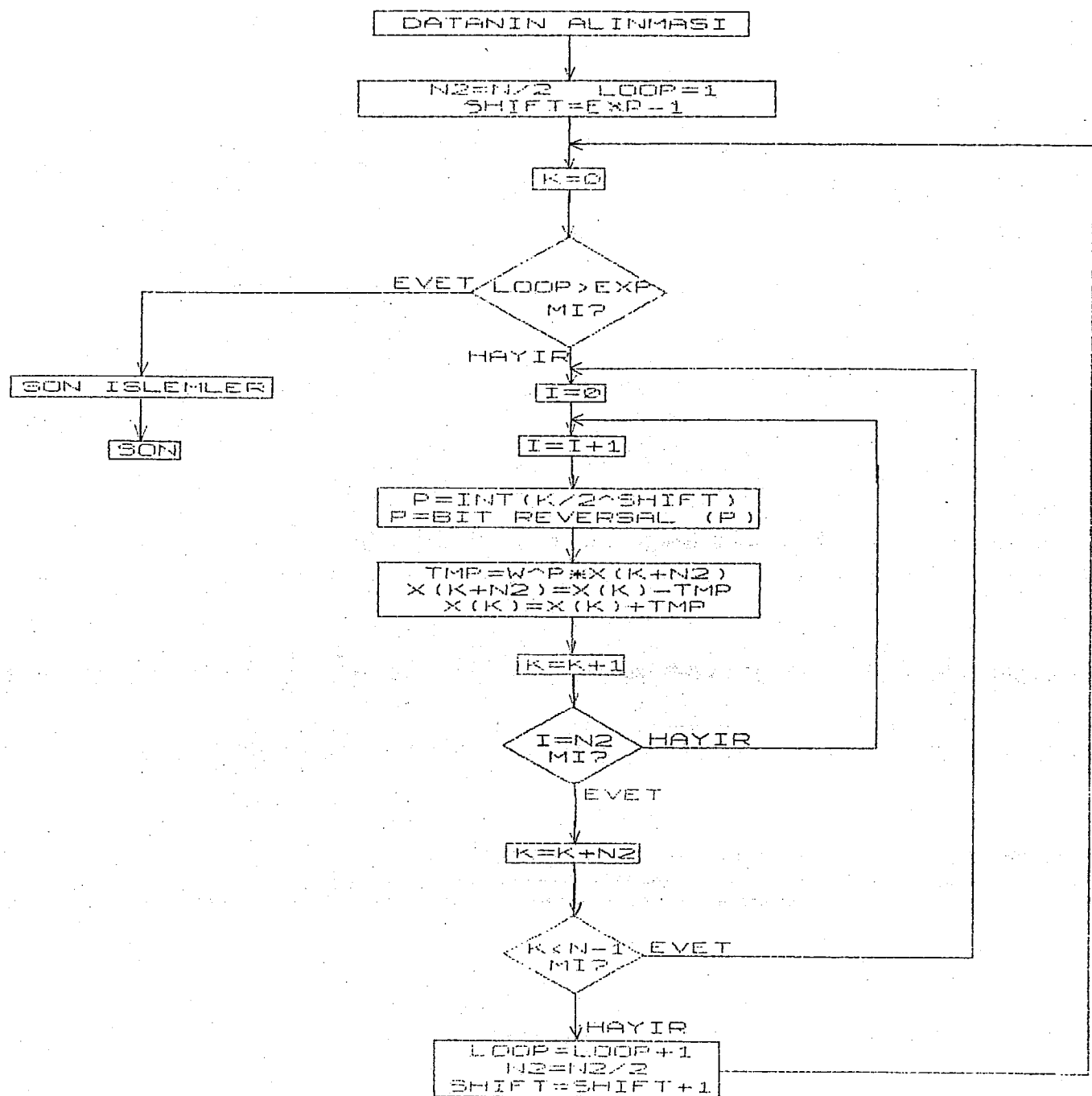
3. Bölümde, içiçe üç döngü kullanılarak FFT hesapları yapılır.

N ile gösterilen değer giriş dizisinin uzunluğudur. N_2 ise N 'in yarısıdır. EXP=log₂N'dir ve SHIFT=EXP-1 alınarak en dıştaki döngüye girilir. LOOP değişkeni en dıştaki döngünün sayacıdır. LOOP=1 ile başlanır ve LOOP>1 oluncaya kadar döngü devam eder.

Ortadaki döngünün değişkeni K'dır ve K<N-1 olduğu süre boyunca bu döngü devam eder.

En içteki döngünün değişkeni ise I'dır. I, 0'dan itibaren artmaya başlayarak N_2 'ye eşit oluncaya kadar bu döngü devam eder.

4. Bölümde, çıkış dizisinde elde edilen değerlerin büyüklükleri hesaplanır.



SEKIL 15: FFT PROGRAMI AKIS SEMASI

3.2 C PROGRAMI HAKKINDA GENEL AÇIKLAMA:

Ek 1'de C dilinde yazılmış olan FFT programı verilmiştir.

Programın başlangıcında, FFT algoritması için gerekli olan dizilere ve değişkenlere başlangıç değerleri atanmıştır.

İlk alt program olan 'initialize' da Reel ve İmajiner 'Weighting Factor' dizileri oluşturulur.

İkinci alt program olan 'fft_algorithm' de ise FFT işlemleri gerçekleştirilir.

'Post_Processing' isimli alt programın görevi 'fft_algorithm' de bulunan reel ve İmajiner dizilerin büyüklüğünü hesaplamaktır.

Dördüncü alt programdan yedinci alt programa kadar olan kısımda programda elde edilen çıkış değerleri grafik ekranda gösterilir.

C programının en büyük özelliği ise kullanılan algoritmanın ASM96 programında kullanılan algoritma ile aynı olmasıdır. Bu nedenle ASM96 programında komutların yanında açıklama olarak C programındaki karşılıkları verilmiştir.

3.3 ASM96 PROGRAMI HAKKINDA GENEL AÇIKLAMA:

Ek 2'de 80C196KC Microcontroller'in makine diliinde yazılmış olan FFT programı verilmiştir.

Programın başlangıç kısmında, FFT algoritması için gerekli olan registerlerin ve dizilerin tanımlaması yapılmıştır.

Programda yer alan ilk rutin MAINP ismindeki ana programdır. Programın anlaşılabilirliğini artırmak amacıyla temel işlemleri yapan program parçalarının, bir ana programdan çağırılması şeklinde bir yöntem takip edilmiştir.

Ardından gelen alt program FFT_OUT ismindeki çıkış dizisini temizler.

Üçüncü alt program FFT hesaplarının yapıldığı kısımdır.

Ardından gelen iki alt programda çıkış dizisinin büyüklüğü hesaplanır.

Beşinci ve altıncı alt programlarda ise isteğe bağlı olarak çıkış dizisinin büyüklüğünün logaritması veya karekök değeri hesaplanır.

Yedinci alt program ise dışarıdan alınacak analog sinyalleri digitale çevirir.

Programın sonunda FFT hesaplarında kullanılan tablolar verilmiştir.

4.0 80C196KC MICROCONTROLLER'IN TANITIMI VE KOMUT LISTESİ

Gelişmiş kontrol uygulamalarında sık sık çok hızlı digital sinyallerle karşılaşılır. Ayrıca sık sık 16 bit ve 32 bitte yüksek hızda işlem yapmak istenir. 8096 ile başlayan MCS-96 microcontroller serisi yüksek hızda hesaplamalara ve I/O işlemlerine ihtiyaç duyduğu uygulamalarda kullanılır.

8096, I/O sistemleri için geliştirilmiş çarpma ve bölme komutlarına sahip 16 bitlik aritmetik komutları olan bir microcontroller'dır.

Aşağıda 8096 ailesinin komut seti verilmiştir:

Mnemonic	Oper- ands	Operation (Note 1)	Z	N	C	V	VT	ST	Flags	Notes
ADD/ADDB	2	D \leftarrow D + A	✓	✓	✓	✓	✓	✓	—	5
ADD/ADDB	3	D \leftarrow B + A	✓	✓	✓	✓	✓	✓	—	5
ADD/ADDCB	2	D \leftarrow D + A + C	✓	✓	✓	✓	✓	✓	—	5
SUB/SUBB	2	D \leftarrow D - A	✓	✓	✓	✓	✓	✓	—	5
SUB/SUBB	3	D \leftarrow B - A	✓	✓	✓	✓	✓	✓	—	5
SUB/SUBCB	2	D \leftarrow D - A + C - 1	✓	✓	✓	✓	✓	✓	—	5
CMP/CMPPB	2	D - A	✓	✓	✓	✓	✓	✓	—	5
MUL/MULU	2	D,D+2 \leftarrow D * A	—	—	—	—	—	—	—	5
MUL/MULU	3	D,D+2 \leftarrow B * A	—	—	—	—	—	—	—	5
MUL/MULUB	2	D,D+1 \leftarrow D * A	—	—	—	—	—	—	—	5
MUL/MULUB	3	D,D+1 \leftarrow B * A	—	—	—	—	—	—	—	5
DIVU	2	D \leftarrow [D,D+2], D + 2 \leftarrow remainder	—	—	✓	✓	✓	✓	—	5
DIVU	2	D \leftarrow [D,D+1], A, D + 1 \leftarrow remainder	—	—	✓	✓	✓	✓	—	5
DIV	2	D \leftarrow [D,D+2], A, D + 2 \leftarrow remainder	—	—	✓	✓	✓	✓	—	5
DIV	2	D \leftarrow [D,D+1], A, D + 1 \leftarrow remainder	—	—	✓	✓	✓	✓	—	5
AND/ANDB	2	D \leftarrow D and A	✓	✓	✓	✓	✓	✓	—	5
AND/ANDB	3	D \leftarrow B and A	✓	✓	✓	✓	✓	✓	—	5
OR/ORB	2	D \leftarrow D or A	✓	✓	✓	✓	✓	✓	—	5
XOR/XORB	2	D \leftarrow D(excl. or)A	✓	✓	✓	✓	✓	✓	—	5
LD/LOB	2	A \leftarrow D	—	—	—	—	—	—	—	5
ST/STB	2	A \leftarrow D	—	—	—	—	—	—	—	5
LDSE	2	D \leftarrow A; D + 1 \leftarrow SIGN(A)	—	—	—	—	—	—	—	5
LDSE	2	D \leftarrow A; D + 1 \leftarrow 0	—	—	—	—	—	—	—	5
PUSH	1	SP \leftarrow SP - 2; (SP) \leftarrow A	—	—	—	—	—	—	—	5
POP	1	A \leftarrow (SP); SP \leftarrow SP + 2	—	—	—	—	—	—	—	5
PUSHF	0	SP \leftarrow SP - 2; (SP) \leftarrow PSW; I \leftarrow 0	0	0	0	0	0	0	—	5
POPF	0	PSW \leftarrow (SP); SP \leftarrow SP + 2; I \leftarrow I	✓	✓	✓	✓	✓	✓	—	5
SMP	1	PC \leftarrow PC + 16-bit offset	—	—	—	—	—	—	—	5
LIMP	1	PC \leftarrow PC + 16-bit offset	—	—	—	—	—	—	—	5
BR (Indirect)	1	PC \leftarrow (A)	—	—	—	—	—	—	—	5
SCALL	1	SP \leftarrow SP - 2; (SP) \leftarrow PC;	—	—	—	—	—	—	—	5
SCALL	1	PC \leftarrow PC + 11-bit offset	—	—	—	—	—	—	—	5
LCALL	1	SP \leftarrow SP - 2; (SP) \leftarrow PC;	—	—	—	—	—	—	—	5
RET	0	PC \leftarrow (SP); SP \leftarrow SP + 2	—	—	—	—	—	—	—	5
J (conditional)	1	PC \leftarrow PC + 8-bit offset (if taken)	—	—	—	—	—	—	—	5
JC	1	Jump if C = 1	—	—	—	—	—	—	—	5
JNC	1	Jump if C = 0	—	—	—	—	—	—	—	5
JE	1	Jump if Z = 1	—	—	—	—	—	—	—	5

Figure 2-5. Instruction Summary

NOTES:

- If the mnemonic ends in "B", a byte operation is performed, otherwise a word operation is done. Operands D, B, and A must conform to the alignment rules for the required operand type. D and B are locations in the register file; A can be located anywhere in memory.
- D + 2 are consecutive WORDS in memory; D is DOUBLEWORD aligned.
- D, D + 1 are consecutive BYTES in memory; D is WORD aligned.
- Changes a byte to a word.
- Offset is a 2's complement number.

Mnemonic	Oper- ands	Operation (Note 1)	Z	N	C	V	VT	ST	Flags	Notes
JNE	1	Jump if Z = 0	—	—	—	—	—	—	—	5
JGE	1	Jump if N = 0	—	—	—	—	—	—	—	5
JLT	1	Jump if N = 1	—	—	—	—	—	—	—	5
JGT	1	Jump if N = 0 and Z = 0	—	—	—	—	—	—	—	5
JLE	1	Jump if C = 1 and Z = 0	—	—	—	—	—	—	—	5
JH	1	Jump if C = 0 or Z = 1	—	—	—	—	—	—	—	5
JNH	1	Jump if V = 1	—	—	—	—	—	—	—	5
JNIV	1	Jump if V = 0	—	—	—	—	—	—	—	5
JNZ	1	Jump if VT = 1; Clear VT	—	—	—	—	—	—	—	5
JNST	1	Jump if ST = 0	—	—	—	—	—	—	—	5
JBS	3	Jump if Specified Bit = 1	—	—	—	—	—	—	—	5, 6
JBC	3	Jump if Specified Bit = 0	—	—	—	—	—	—	—	5, 6
DNZ	1	D \leftarrow D - 1; if D \neq 0 then PC \leftarrow PC + 8-bit offset	—	—	—	—	—	—	—	5
DEC/DEC8	1	D \leftarrow D - 1	✓	✓	✓	✓	✓	✓	—	3
NEG/NEG8B	1	D \leftarrow 0 - D	✓	✓	✓	✓	✓	✓	—	3
INC/INC8B	1	D \leftarrow D + 1	✓	✓	✓	✓	✓	✓	—	3
EXT	1	D \leftarrow D; D + 2 \leftarrow Sign(D)	✓	✓	✓	✓	✓	✓	—	2
EXTB	1	D \leftarrow D; D + 1 \leftarrow Sign(D)	✓	✓	✓	✓	✓	✓	—	3
NOT/NOTB	1	D \leftarrow Logical Not(D)	✓	✓	✓	✓	✓	✓	—	3
CLRC/CLRB	1	D \leftarrow 0	—	—	—	—	—	—	—	—
SHL/SHLB/SHLL	2	C \leftarrow msb-----lsb \leftarrow 0	✓	✓	✓	✓	✓	✓	—	7
SHR/SHRB/SHRL	2	0 \leftarrow msb-----lsb \rightarrow C	✓	✓	✓	✓	✓	✓	—	7
SHRA/SHRB/SHRAL	2	msb-----lsb \rightarrow C	✓	✓	✓	✓	✓	✓	—	7
SETC	0	C \leftarrow 1	—	—	—	—	—	—	—	—
CLR	0	C \leftarrow 0	—	—	—	—	—	—	—	—
CLRV	0	VT \leftarrow 0	—	—	—	—	—	—	—	—
RST	0	PC \leftarrow 2080H	0	0	0	0	0	0	0	8
DI	0	Disable All Interrupts (I \leftarrow 0)	—	—	—	—	—	—	—	—
EI	0	Enable All Interrupts (I \leftarrow 1)	—	—	—	—	—	—	—	—
NOP	0	PC \leftarrow PC + 1	—	—	—	—	—	—	—	—
SKIP	0	PC \leftarrow PC + 2	—	—	—	—	—	—	—	—
NORML	2	Left Shift Till msb = 1; D \leftarrow shift count	✓	✓	✓	✓	✓	✓	—	7
TRAP	0	SP \leftarrow SP - 2; (SP) \leftarrow PC	—	—	—	—	—	—	—	9
	PC \leftarrow (2010H)									

Figure 2-5. Instruction Summary (Continued)

NOTES:

- If the mnemonic ends in "B", a byte operation is performed, otherwise a word operation is done. Operands D, B, and A must conform to the alignment rules for the required operand type. D and B are locations in the register file; A can be located anywhere in memory.
- Specified bit is one of the 2048 bits in the register file.
- The "L" (Long) suffix indicates double-word operation.
- B initiates a Reset by pulling RESET low. Software should re-initialize all the necessary registers with code starting at 200H.
- The assembler will not accept this mnemonic.

5.0 EV80C196KC MICROCONTROLLER EVALUATION BOARD

EV80C196KC Microcontroller Evaluation Board, 80C196KC için yazılmış olan programları ROM kullanmaya ihtiyaç kalmadan çalıştırabilmek üzere Intel firması tarafından geliştirilmiştir. Evaluation Board, IBM PC uyumlu bir bilgisayara seri port üzerinden bağlanır. Programlar, bilgisayarda herhangibir editörde yazıldıktan sonra, ASM96 Macro Assembler programı kullanılarak object file elde edilir. ECM96 programı aracılığı ile bu file, EV80C196KC üzerindeki ROM-SIM'lere (ROM SIMulator) aktarılır. ROM-SIM entegreleri microcontroller'in ROM'u gibi çalışır. ROM-SIM'lere aktarılan programlar PC bilgisayar aracılığı ile istenildiği zaman çalıştırılabilir. Programların istenilen kısımları çalıştırılabilirdi gibi, ECM96 programı kullanılarak üzerlerinde istenilen değişiklikler yapılabilir. Registerlerin içerikleri öğrenilebilir. Microcontroller'in kullanılabildiği hafıza bölgelerinde istenilen bir yere byte, word, long tipinde değerler yazılabilir ve okunabilir.

EK 1

C PROGRAMI

```
/*****  
*  
* FILE : FFT.C  
*  
* STARTED : May 1, 1992  
*  
* LAST EDIT : May 23, 1992  
*  
* VERSION : 0.5  
*  
* WRITTEN BY : Sururi Karacorlu  
*  
* DESCRIPTION : Fast Fourier Transform of  
*                 a sampled signal  
*  
* FUNCTIONS :  
* 1. initialize : Initializing the weighting factors  
* 2. fft_algorithm : Realising the FFT algorithm  
* 3. post_processing : Post processing and reordering  
* 4. graph_init : Initializing the graphics hardware  
* 5. draw_3axes : Drawing axes  
* 6. plot_sequences1 : Plotting real ve imaginary input sequences  
* 7. plot_sequences2 : Plotting magnitude of output  
* 8. main : The main program  
*****/
```

```
#include <stdio.h>  
#include <math.h>  
#include <graphics.h>  
  
/* Reel parts of the input sequence */  
float xr[32] = { 2,2,2,2,2,2,2,2,2,2,2,2,2,-2,-2,-2,-2,-2,  
                -2,-2,-2,-2,-2,-2,-2,-2,-2 };  
/* Imaginary parts of the input sequence */  
float xi[32] = { 2,2,2,2,2,2,2,2,2,2,2,2,2,-2,-2,-2,-2,-2,  
                -2,-2,-2,-2,-2,-2,-2,-2,-2 };  
/* Reel and imaginary parts of the weighting factors */  
float wr[32], wi[32];  
  
/* Magnitude of result */  
float magn[32];  
  
/* Bit reversal sequence */  
int br[32] = { 0,16,8,24,4,20,12,28,2,18,10,26,6,22,14,30,1,17,  
               9,25,5,21,13,29,3,19,11,27,7,23,15,31 };  
int n = 32; /* number of points */  
int n1 = 31; /* n1= n-1 */  
float pi=3.141592654;  
float tpn;  
float pin;
```

```

int GraphDriver; /* The Graphics device driver */  

int GraphMode; /* The Graphics mode value */  

int MaxX, MaxY; /* The maximum resolution of the screen */  

int ErrorCode; /* Reports any graphics errors */  
  

/*=====*/  

void initialize(void)  

{ /* Initializes the weighting factor sequences Ver 0.0 */  

    float p, pn;  
  

    tpn = (2*pi) / n; /* tpn = 2*pi/n */  

    pn = pi/n; /* pn = pi/n */  
  

    for(p=0; p<32; ++p)
    {
        pn = p*tpn;
        wr[p] = cos(pn); /* Real parts of weighting factors */
        wi[p] = -sin(pn); /* Imaginary parts of weighting factors */
    }
}  
  

/*=====*/  

void fft_algorithm()  

{ /* Realises the Fast Fourier Transform Ver 0.0 */  

    int loop,n2=n/2;
    int exponent=5; /* n = 2^exponent */
    int shift=exponent-1;
    for(loop=1; loop<=exponent; ++loop)
    {
        int k=0,incnt,p,x,kn2;
        float wrp,wip,tmpr,tmpi,tapri,tapii;
        do
        {
            incnt=0;
            do
            {
                ++incnt;
                x=k/pow(2,shift);
                p=br[x];
                wrp=wr[p];
                wip=wi[p];
                kn2=k+n2;
                tmpr=(wrep*xr[kn2] - wip*xi[kn2])/2;
                tmpi=(wrep*xi[kn2] + wip*xr[kn2])/2;
                tapri=xr[k]/2;
                tapii=xi[k]/2;
                xr[k+n2]=tapri-tmpr;
                xi[k+n2]=tapii-tmpi;
                xr[k]=tapri+tmpr;
                xi[k]=tapii+tmpi;
                ++k;
            }
            while (incnt<n2);
    }
}

```

```

        k=k+n2;
    }
    while (k<n1);
    n2=n2/2;--shift;
}
}

/*=====
 void post_processing()
 /* Computes the magnitude of result
 and print results on the screen Ver 0.0 */
{
    int k;
    float kpin,xrbrk,xibrk,xrbrnk,xibrnk,ti,tr,xrt,xit,
        outr,outi,magsq,mag,dbfact,decibel,m=16383;
    /* printf(" %d %f %f %f %f %f %f %f\n", */
    /*     k, outr, outi, mag, decibel); */
    /* printf(" %f %f %f %f %f %f %f %f\n"); */
    /* printf(" %f %f %f %f %f %f %f %f\n"); */
    /* for(k=0; k<32; ++k) */
    {
        kpin=k*pin;
        xrbrk=xr[br[k]];
        xibrk=xr[br[k]];
        xrbrnk=xr[br[n-k]];
        xibrnk=xr[br[n-k]];
        ti=(xibrk+xibrnk)/2;
        tr=(xrbrk-xrbrnk)/2;
        xrt=(xrbrk+xrbrnk)/4;
        xit=(xibrk-xibrnk)/4;
        outr= xrt + ti*cos(kpin)/2 - tr*sin(kpin)/2;
        outi= xit - ti*sin(kpin)/2 - tr*cos(kpin)/2;
        magsq=(float)(pow(outr,2)+pow(outi,2));
        mag=(float)sqrt(magsq);
        magn[k]=mag;
        if (magsq<.5.) decibel=0;
        else
        {
            dbfact=pow(m,2)/65535;
            decibel=10*log(magsq*dbfact);
            decibel=decibel * 0.434294481;
        }
        /* printf("%2d %8.5f %8.5f %8.3f %7.0f %7.0f %b.0f \n",
               k,outr,outi,mag,decibel,outr,outi,mag); */
    }
}

```

```

/*****+
 void graph_init()
/* Initializes the graphics hardware Ver 0.0 */
{
    GraphDriver = DETECT;      /* Request auto-detection */
    initgraph(&GraphDriver, &GraphMode, "");           */
    ErrorCode = graphresult(); /* Read result of initialization */

    if( ErrorCode != grOk )     /* Error occurred during init */
    {
        printf("Graphics System Error: %s\n", grapherrormsg(ErrorCode));
        exit(1);
    }
    MaxX = getmaxx();
    MaxY = getmaxy();          /* Read size of screen */
}

/*****+
void draw_3axes(x1, y1, x2, y2, x3, y3)
int x1, y1, x2, y2, x3, y3;      /* origins of axes */
{
    setbkcolor(BLUE); textcolor(BLACK);

    moveto(x1, y1); lineto(x1, 20);      /* vertical axis */
    moveto(x1, y1); lineto(x2-10, y1);   /* horizontal axis */
    outtextxy(x1, 20, "Real Input Sequence Xr(n)");
    outtextxy(x1-10, y1-xr[0]*40, "2");

    moveto(x2, y2); lineto(x2, 20);
    moveto(x2, y2); lineto(MaxX-10, y2);
    outtextxy(x2, 20, "Imaginary Input Sequence Xi(n)");
    outtextxy(x2-10, y2-xi[0]*40, "2");

    moveto(x3, y3); lineto(x3, MaxY/2-10);
    moveto(x3, y3); lineto(MaxX-10, y3);
    outtextxy(x3, MaxY/2-10, "Magnitude of");
    outtextxy(x3+50, MaxY/2-1, "Result");
}

/*****+
void plot_sequencesi(x1, y1, x2, y2)
int x1, y1, x2, y2;
{
    int i;
    float adjust = 0;

    setcolor(YELLOW);
    for (i=0; i<n; i++)
    {
        moveto(x1 + adjust, y1); lineto(x1 + adjust, y1 - 40*xr[i]);
        circle(x1 + adjust, y1 - 40*xr[i], 2);
        adjust += MaxX / (2*n);
    }
}

```

```

        adjust = 0;
        for (i=0; i<n; i++)
        {
            moveto(x2+adjust, y2); lineto(x2+adjust, y2 - 40*xi[i]);
            circle(x2 + adjust, y2 - 40*xi[i], 2);
            adjust += MaxX / (2*n);
        }
    }

    //-------------------------------------*/
void plot_sequences2(x3, y3)
/* Plots magnitude result      Ver 0.0 */

    int x3, y3;
{
    int i;
    float adjust = 0;

    for (i=0; i<n; i++)
    {
        moveto(x3+adjust, y3); lineto(x3+adjust, y3 - 100*magn[i]);
        circle(x3 + adjust, y3 - 100*magn[i], 2);
        adjust += MaxX / (2*n);
    }
    outtextxy(x3+2,y3-magn[i]*100-10, "1.27");
}

//-------------------------------------*/
main()
/* The main of the program      Ver 0.0 */
{
    int x1, y1, x2, y2, x3, y3; /* origins of 3 x-y axes */
    graph_init();

    /* calculate the origins of the 3 x-y axes */
    x1 = 10; y1 = MaxY/4 + 40;
    x2 = MaxX/2; y2 = MaxY/4 + 40;
    x3 = 10; y3 = MaxY - 30;

    draw_3axes(x1, y1, x2, y2, x3, y3); /* draw 3 axes */

    plot_sequences1(x1,y1,x2,y2);

    initialize();
    fft_algorithm();
    post_processing();
    plot_sequences2(x3, y3);

    getch();
    closegraph(); /* return the system to text mode */
    return 0;
}

```

EK 2

ASM96 PROGRAM

DOS 4.0 (038-N) MCS-96 MACRO ASSEMBLER, V1.2

SOURCE FILE: C:\SURURI\FFT.A96

OBJECT FILE: C:\SURURI\FFT.OBJ

CONTROLS SPECIFIED IN INVOCATION COMMAND: DB

ERR LOC	OBJECT	LINE	SOURCE STATEMENT
		1	;*****
		2	;*****
		3	;t
		4	;t FFT
		5	;t
		6	;t FAST FOURIER TRANSFORM
		7	;t
		8	;t
		9	;t File Name & Number : FFT.A96 & 1/1
		10	;t
		11	;t Started & Revised : 26-Nisan-1992 & 29-Mayis-1992 -V1.04
		12	;t
		13	;t SUBROUTINES :
		14	;t
		15	;t 1. MAINP : Ana program
		16	;t 2. CLR_FFT_OUT : FFT_OUT adresindeki dizinin temizlenmesi
		17	;t 3. FFT_CALC : FFT hesaplarinin yapildigi alt program
		18	;t 4. UNWEEVE : Son islemler ve yeniden siralama
		19	;t 5. CALC_LOG : 10*LOG(Magnitude^2) degerinin hesaplanması
		20	;t 6. CALC_SQRT : Karekok degerinin hesaplanması
		21	;t
		22	;t
		23	;t DESCRIPTION :
		24	;t
		25	;t Uludag Universitesi Muhendislik Fakultesi
		26	;t Elektronik Muhendisligi Bolumu, 26 Nisan 1992
		27	;t Hazirlayan: Sururi Karacorlu
		28	;t Intel Corporation MC0 Applications notlarindan yararlanilmistir.
		29	;t
		30	;t Bu program 2N-nokta algoritmasini kullanarak 64 reel nokta üzerinde
		31	;t Fast Fourier Transform (FFT) islemi gerçeklestirmektedir. Bu algorit-
		32	;t mada 32 reel ve 32 imajiner nokta üzerinde standart FFT islemi uygula-
		33	;t nir. Reel ve imajiner diziler reel data degerleriyle doldurulmustur ve
		34	;t FFT'nin cikisi post-processor'e uygulanarak sonuc degerleri elde edilir.
		35	;t Sonuc degerleri 32 noktalı bir diziye yerlestirilir. Post-processing
		36	;t bolusunde 32 bitlik isaretsiz sayilarin karekoklerini almak icin table
		37	;t lookup algoritmasi (tablo bakma metodu) kullanilmistir.
		38	;t
		39	;t FFT programindaki butun hesaplar 16 bit işaretli tamsayilar üzerinde
		40	;t yapilir. Bu nedenle herhangi bir frekens bileseninin alabilecegi maximum
		41	;t deger +/- 32K olur. (+/- 32K 'lik bir kare dalganin temel bileseninin
		42	;t +/- 40K 'dan buyuk olacagini dikkat ediniz.) Matematiksel islemlerin
		43	;t hizini artttirmak icin mumkun olan her yerde tablolari kullanilmistir. Her
		44	;t frekans bileseninin mutlak buyuklugunu elde etmemeyi amaclayan transform
		45	;t islemi ic degiskenerle yapildigi zaman 12 milisaniye, dis degiskenerle
		46	;t yapildigi zaman 14 milisaniye surmektedir.
		47	;t
		48	;t Program iki tane 32'lik diziye yerlestirilmiş örnek degerleri kullan-
		49	;t maktadir. Bu diziler XREAL ve XIMAG adreslerinden baslamaktadir. Sonucta
		50	;t elde edilen degerler FFT_OUT ismindeki 32 bitlik diziye yerlestirilir.
		51	;t bu diziler tamamen dis degiskener olarak tanimlanmistir. Programda,

ERR LOC	OBJECT	LINE	SOURCE STATEMENT
		52	;# cikis degerlerinin ortalamasi alinacaginda FFT_CALC rutini calistirilmalidir.
		53	;# dan once FFT_OUT dizisi temizlenmelidir.
		54	;
		55	;# Yapilanlari test etmeye kolaylastirmak icin programin orjinali C'de
		56	;# yazilmistir. Algoritmayi izlemeyi kolaylastirmak icin, programda, komut-
		57	;# larla beraber C'deki karsilik gelen satirlar da verilmistir.
		58	;
		59	=====
		60	=====
		61	=====
		62	=====
		63	REGISTERLERIN TANIMLANMASI
		64	=====
0040		65	RSEG AT 40H
0040		66	zero: dsw 1 ; Sifir registeri
0042		67	sp: dsw 1 ; Stack pointer
0044		68	error: dsb 1 ; Hata olusursa nedenini arastirabilecek icin
0045		69	fft_mode: dsb 1 ; FFT girisi icin mod secimi
0046		70	scale_factor: dsb 1 ; FFT cikisindaki saga kaydirmalarin sayisi
0048		71	tmp1: dsl 1 ; Temporary register, Real
004C		72	tmp1i: dsl 1 ; Temporary register, Imaginary
0050		73	tmp1r: dsl 1 ; Temporary register, Real
0054		74	tmp1il: dsl 1 ; Temporary register, Imaginary
0058		75	xrtmp: dsl 1 ; Temporary register, Real
005C		76	xitmp: dsl 1 ; Temporary register, Imaginary
0060		77	xrrkr: dsl 1 ; Temporary register, Real
0064		78	xrrkt: dsl 1 ; Temporary register, Real
0068		79	xirk1: dsl 1 ; Temporary register, Imaginary
006C		80	xirk2: dsl 1 ; Temporary register, Imaginary
0070		81	diff: dsl 1 ; Karekok icin Tablo Araligi
0074		82	sqrts: dsl 1 ; Karekok
0078		83	log: dsi 1 ; 10 Log(Magnitude^2)
007C		84	nxtnloc: dsl 1 ; Tablodaki bir sonraki adres
0080		85	wrp: dsw 1 ; Aigirlik Faktoru, reel
0082		86	wip: dsw 1 ; Aigirlik Faktoru, imajiner
0084		87	pwr: dsw 1 ; Bit reversal degerlerinin saklandigi reg.
0086		88	in_cnt: dsw 1 ; Increment Counter
0088		89	ndiv2: dsw 1 ; N/2 (0<n<N) #2
008A		90	kptr: dsw 1 ; Sayici. Dizilerdeki elemanlara erismek
008C		91	kn2: dsw 1 ; KPTR + NDIV2
008E		92	n_sub_k: dsw 1 ; Dizideki elemanlara erismek icin (N-K) #2
0090		93	rk: dsw 1 ; KPTR'nin bit reversal pointer'i
0092		94	rnk1: dsw 1 ; N_SUB_K'nin bit reversal pointer'i
0094		95	shift_cnt: dsb 1 ; Shift Counter
0095		96	loop_cnt: dsb 1 ; Loop Counter
0096		97	ptr: dsw 1 ; Karekok tablosu icin pointer
0098		98	xrtmp1: dsw 1 ; Temporary register, Real
009A		99	xitmp1: dsw 1 ; Temporary register, Imaginary
009C		100	offset: dsw 1 ; FFT_OUT dizisinin silinmesinde kullanilan
		101	pointer
009E		102	ex: dsw 1 ; gecici register
00A0		103	bx: dsw 1 ; gecici register
00A2		104	cx: dsw 1 ; gecici register
00A4		105	dx: dsw 1 ; gecici register
00A6		106	sample_period:dsw 1 ; A/D Cevrim icin ornekleme zamani
00A8		107	adudtemp0: dsw 1 ; A/D Cevrim rutini icin gecici register
00AA		108	aductemp0: dsw 1 ; A/D Cevrim rutini icin gecici register

ERR	LOC	OBJECT	LINE	SOURCE STATEMENT	;
	00AC		109	aductemp1: dsw 1	A/D Cevrim rutini icin gecici register
	00AE		110	top_of_buffer:dsw 1	; ADC rutini icin buffer'in uzunlugu
	00B0		111	sample_count: dsb 1	; ADC rutini icin ornek sayisi
	00B1		112	control_a2d: dsb 1	; A/D cevrim islemlerini kontrol eden reg.
	00B2		113	src_ptr: dsw 1	; ADC rutini icin secilen bufferin adresi
	00B2		114	temp set src_ptr: word	; ADC rutini icin gecici buffer adresi
	00B4		115	dest_ptr: dsw 1	; ADC rutini icin hedef bufferin adresi
	00B6		116	loop_c: dsw 1	; ADC rutini icin dongu sayaci
	117				
	07D2		118	CSEG at 2002	
	07D2 A023		119	dcw A2D_DONE_VECTOR	
			120		
			121	load_hso_command MACRO var	; ADC rutininde HSO icin macro tanimlamasi
			122	ldb hso_command,#var	
			123	ld hso_time,aductemp0	
			124	enda	
			125		
	3000		126	DSEG at 3000H	
	3000		127	XREAL:	
	3040		128	XIMAG equ XREAL+64	; Reel ve imajiner giris degerleri icin ; 32'ser wordluk iki dizi
	3080		129		
	3080		130	DSEG at 3080H	
	30C0		131	FFT_OUT:	
	3100		132		
	3100		133	OUTR equ FFT_OUT + 64	; FFT_OUT: Buyukluk (magnitude) bilgisini ; iceren 32 word'luk dizinin baslangic adr.
	0100		134		; FFT'nin reel cikis degerlerini iceren ; 32 word'luk dizinin baslangic adresi
	0100		135	OUTI equ FFT_OUT + 128	; FFT'nin imajiner cikis degerlerini iceren ; 32 word'luk dizinin baslangic adresi
	3000		136		
	3000		137	DSEG at 100h	
	3040		138	dest_buff_base:	; ADC rutimi icin hedef bufferin adresi
	2080		139		
	2080		140	DSEG at 3000H	
	2080		141	buff0_base:	; ADC rutini icin 0 ve 1 numarali bufferlar
	2080		142	buff1_base equ buff0_base+64	
	2080		143		
	2080		144	CSEG at 2080H	
	2080		145	=====	
	2080		146	; Sub & Started & Revised : 1 & 22-5-1992 & 22-5-1992 & Rv0.01	
	2080 A301005042		147	; Assumes : -	
	2085 B10045		148	; Returns : -	
			149	;Regs Modified : sp, fft_mode	
			150	;Call(s) : 1. CLR_FFT_OUT : FFT_OUT adresindeki dizinin temizlenmesi	
			151	; 2. FFT_CALC : FFT hesaplarinin yapildigi alt program	
			152	; 3. UNWEAVE : Son islemler ve yeniden siralama	
			153	; 4. LOAD_DATA : A/D cevrim rutini	
			154	; 5. TABLE_LOAD : Giris degerleri tablodan verilecekse	
			155	;Purpose : -	
			156	=====	
	2080		157	MAINP:	
	2080 A301005042		158	ld sp,5000h	
	2085 B10045		159	ldb fft_mode,#0000b	
			160	;	
			161	;	; =====> =0 ise veriler tablodan okunacak
			162	;	; =1 ise veriler disardan alinacak
			163	;	; =====> =0 ise sonuc buyuklugu karekok olarak
			164	;	; =1 ise sonuc buyuklugu magnitude olarak
	2088 304504		165	bbc fft_mode,0,DD_TAB	

ERR	LOC	OBJECT	LINE	SOURCE STATEMENT	
	208B	2A52	166	call LOAD_DATA	
	208D	2002	167	or C_F_0	
	208F		168	DD_TABS:	
	208F	2808	169	call TABLE_LOAD	
	2091		170	C_F_0:	
	2091	2827	171	call CLR_FFT_OUT	
	2093	2839	172	call FFT_CALC	
	2095	28F3	173	call UNHEAVE	
	2097	2347	174	br endp	
			175		
			176	;=====	
			177	;Sub# & Started & Revised : 2 & 9-6-1992 & 9-6-1992 & Rv0.01	
			178	;Assumes : DATA0 tablosunda giris degerlerinin oldugu farzediliyor.	
			179	;Returns : XREAL ve XIIMAG dizilerinde DATA0 tablosundaki giris degerleri	
			180	olusur.	
			181	;Regs Modified : ax,bx,cx,dx	
			182	;Call(s) : -	
			183	;Purpose : DATA0 tablosunda verilen degerlerin xreal ve xiimag giris	
			184	dizilerine yuklenmesi	
			185	;=====	
2099			186	TABLE_LOAD:	
2099	01A0		187	clr bx	
209B	A13A299E		188	ld ax,#data0	; Tablodaki degerler giris dizisine
			189	yukleniyor.	
209F			190	LOAD:	
209F	A29FA2		191	ld cx,[ax]+	
20A2	A29FA4		192	ld dx,[ax]+	
20A5	C3A10030A2		193	st cx,xreal[bx]	
20AA	C3A14030A4		194	st dx,xiimag[bx]	
20AF	650200A0		195	add bx,#2	
20B3	894000A0		196	cmp bx,#64	
20B7	DEE6		197	blt LOAD	
20B9	F0		198	ret	
			199		
			200	;=====	
			201	;Sub# & Started & Revised : 3 & 21-5-1992 & 21-5-1992 & Rv0.01	
			202	;Assumes : -	
			203	;Returns : -	
			204	;Regs Modified : zero, offset, FFT_OUT[0...31]	
			205	;Call(s) : -	
			206	;Purpose : FFT_OUT dizisinin temizlenmesi	
			207	;=====	
20BA			208	CLR_FFT_OUT:	
20BA	0140		209	clr zero	
20BC	019C		210	clr offset	
20BE			211	CLRR:	
20BE	C39D803040		212	st zero,fft_out[offset] ; FFT_OUT[offset] <---- 0	
20C3	6502009C		213	add offset,#2 ; FFT_OUT dizisi wordlardan olustugundan	
20C7	8940009C		214	cmp offset,#64 ; offset degeri 2'ser artiyor.	
20CB	DEF1		215	blt CLRR ; FFT_OUT dizisi 32 word'luk bir dizidir.	
20CD	F0		216	ret	
			217		
			218	;=====	
			219	;Sub# & Started & Revised : 4 & 26-4-1992 & 21-5-1992 & Rv1.01	
			220	;Assumes : XREAL ve XIIMAG dizilerinde giris degerlerinin olmasi gereklidir.	
			221	;Returns : XOUT dizisinde FFT hesaplamalarinin sonucusu olusur.	
			222	;Regs Modified : error, fft_mode, loop_cnt, shft_cnt, ndiv2, kptr, in_cnt,	

ERR LOC	OBJECT	LINE	SOURCE STATEMENT
		223	; pwr, wrp, wip, kn2, tmpr, ttmp1, ttmp11, xrtmp, xitmp
		224	; xreal[0...31], ximag[0...31]
		225	;Call(s) : -
		226	;Purpose : FFT Hesaplama malarinin gerceklestirilmesi
		227	=====
20CE		228	FFT_CALC: ; void fft_algorithm()
20CE 1144		229	clr b error ; hatanin kodu error degiskenine yazilacak
20D0 FC		230	clrvt ; VT flagi hata kontrolu icin temizleniyor
20D1 B10195		232	ldb loop_cnt,#1 ; ana dongu registerinin ilk degeri
20D4 B10494		233	ldb shft_cnt,#4 ; 2^EXPONENT=N ve SHFT_CNT=EXPONENT-1
20D7 A1200088		234	ld ndiv2,#32 ; N=32*2 nokta sayisi ve NDIV2=N/2
20DB		235	OUT_LOOP: ; {
20DB 018A		236	clr kptr ; int k=0;
20DD 990595		237	; for(loop=1; loop<=exponent; ++loop)
20E0 DA0220A5		238	cmpl loop_cnt,#5 ; # 32=2^5 #/
20E4		239	! bgt FFT_C_END
20E4 01B6		240	MID_LOOP: ; do
20E6		241	clr in_cnt ; { incnt=0;
20E6 65020086		242	IN_LOOP: ; do
		243	add in_cnt,#2 ; { +incnt;
		244	; x=k/pow(2,shift);
20EA A0BABA4		245	ld pwr,kptr ; p=br[x];
20ED 0B9484		246	shr pwr,shft_cnt ; # Aigilik Faktorlerinin hesabi
20F0 71FE84		247	andb pwr,#11111110B ; pwr ----> cift sayi
20F3 A385002584		248	ld pwr,brev[pwr] ; pwr ----> bit-reversal degeri #/
20F8		249	GW:
20F8 A3B5542680		250	ld wrp,wrp[pwr] ; wrp=wrp[p];
20FD A3B5962682		251	ld wip,wip[pwr] ; wip=wip[p];
2102 44B88ABC		252	add kn2,kptr,ndiv2 ; kn2=k+n2;
2106		253	GM: ; # Kompleks Carpmlar
2106 FE4FB0030B048		254	eul tmpr,wrp,xreal[kn2] ; tmpr=(wrp*xr[kn2] - wip*xi[kn2])/2;
210D FE4FB04030824C		255	eul tapi,wip,ximag[kn2]
2114 684E4A		256	sub tapi+2,tapi+2
2117 FE4FB040308050		257	eul tmpr1,wrp,ximag[kn2] ; tapi=(wrp*xi[kn2] + wip*xr[kn2])/2;
211E FE4FB0030B24C		258	eul tapi,wip,xreal1[kn2]
2125 64524E		259	add tapi+2,tapi+2
		260	; Once word tipi işaretli sayilar carpilarak long tipi tmpr ve tapi
		261	; degerleri elde ediliyor.
		262	; Burada dikkat edilmesi gereken en onemli nokta sudur:
		263	; WR,WI,XREAL,XIMAG dizilerinde saklanan degerler gercek degerlerin 2^15
		264	; ketidir. Boylece kesirli sayilarla caliseek daha kolay olmaktadır. Carpma
		265	; islemlerinde elde edilen sonucular bu nedenle gercek sonucularin 2^30 kati
		266	; olmaktadır. Burada sadece yüksek degerlikli wordlarla cikarma islemi yapi-
		267	; lip sonuc yine long tipi registerin yüksek worduna yazilmaktadir. Boylece
		268	; sonuc 2^16'ya bolunmus olmaktadır. TMPI ve TMPR degerlerini elde edebilsek
		269	; icin toplama ve cikarma islemlerinden sonra 2'ye bolme islemi de yapilmasi
		270	; gerektiginden 2^16'ya bolmekle elde edilen sonuc gercek sonucun 2^15 kati
		271	; olmaktadır.
		272	
2128 DC55		273	bvt ERR1 ; # Carpma islemlerinde tasma
		274	plusursa ERR1'e dallanacak. #/
212A A3BB003050		275	ld tmpr1,xreal[kptr] ; tmpr1=xr[k]/2;
212F 0A0150		276	shra tmpr1,#1
2132 A3BB403054		277	ld ttmp1,ximag[kptr] ; ttmp1=xi[k]/2;
2137 0A0154		278	shra ttmp1,#1
213A		279	GR2:

ERR LOC	OBJECT	LINE	SOURCE STATEMENT	;	;
213A	484A5058	280	sub xrtmp,tmpri,tmp+2	;;	xr[k+n2]=tmpri-tmpr;
213E	C38D003058	281	st xrtmp,xreal[kn2]		
2143		282	6X2:		
2143	484E545C	283	sub xitmp,tapi1,tmpi+2	;;	xi[k+n2]=tmpi1-tapi;
2147	C38D40305C	284	st xitmp,ximag[kn2]		
214C		285	6I:		
214C	444A5058	286	add xrtmp,tmpri,tmp+2	;;	xr[k]=tmpri+tmpri;
2150	C3BB003058	287	st xrtmp,xreal[kptr]		
2155		288	6X:		
2155	444E545C	289	add xitmp,tapi1,tmpi+2	;;	xi[k]=tmpi1+tapi;
2159	C38B40305C	290	st xitmp,ximag[kptr]		
215E	DC24	291	bvt ERR2	;	/ Toplama islemlerinde tasma oluşursa ERR2'e dallanacak. /
2160		292		;	
2160	6502008A	293	IK:		
2164	888886	294	add kptr,#2	;;	+k;
2167	D602277B	295	cap in_cnt,ndiv2	;;	}
2168	64888A	296	! blt IN_LOOP	;;	while (incnt<n2);
216E	893E008A	297	add kptr,ndiv2	;;	k=k+n2;
2172	D602276E	298		;	/* n=64 ve n1=n-1=62 */
2176	1795	299	cap kptr,#62	;;	}
2178	0A0188	300	! blt MID_LOOP	;;	while (k<n1);
217B	1594	301	incb loop_cnt	;;	n2=n2/2;
217D	275C	302	shra ndiv2,#1		
217F		303	decb shft_cnt	;;	--shift;
217F	B10144	304	br OUT_LOOP	;;	}
2182	225C	305	ERR1:	;	/* Carpma islemlerinde bir hata varsa error=1 yapilarak program duracak
2184		306	ldb error,#1	;	
2184	B10244	307	br ENDP	;	
2187	2257	308	ERR2:	;	Toplama islemlerinde bir hata varsa error=2 yapilarak program duracak /
2189		309	ldb error,#2	;	
2189	F0	310	br ENDP	;	
218A		311	FFT_C_END:		
218A	018A	312	ret	;;)
218C	A14000BE	313			
2190	0146	314	=====		
2192	A38B002590	315	;Sub# & Started & Revised : 5 & 26_4-1992 & 21-5-1992 & Rv1.01		
2197	A391003060	316	;Assumes : -		
219C	0660	317	;Returns : -		
219E	A391403068	318	;Regs Modified : kptr, n_sub_k, scale_factor, rk, xrrk, xirk, rrk, xrrnk, xirnk, tmpr, tapi, xrtmp, xitmp, tmpri, tapi1,		
21A3	066B	319	; outr[0...31], outi[0...31]		
21A5	A3BF002592	320	;Call(s) : CALC_LOG , CALC_SORT		
21AA	A393003064	321	;Purpose : Son islemler ve yeniden siralama		
21AF	0664	322	=====		
218A		324	UNWEAVE:	;; void post_processing()	
218A	018A	325	clr kptr	;; { int k;	
218C	A14000BE	326	ld n_sub_k,#64		
2190	0146	327	clr scale_factor	;;	
2192	A38B002590	328	UN_LOOP:	;; for (k=0; k<32; ++k)	
2197	A391003060	329	ld rk,brev[kptr]	;; {	
219C	0660	330	ld xrrk,xreal[rk]	;; xrbrik=xrl[br[k]];	
219E	A391403068	331	ext xrrk	;; /* xrrk<---xrrk ; xrrk+2<---sign(xrrk) */	
21A3	066B	332	ld xirk,ximag[rk]	;; xibrik=xil[br[k]];	
21A5	A3BF002592	333	ext xirk	;; /* xirk<---xirk ; xirk+2<---sign(xirk) */	
21AA	A393003064	334	ld rrk,brev[n_sub_k]	;; xrbrrnk=xrl[br[n-k]];	
21AF	0664	335	ld xrrnk,xreal[rrk]	;; /* xrrnk<---xrrnk;xrrnk+2<---sign(xrrnk) */	
218A		336	ext xrrnk		

ERR LOC	OBJECT	LINE	SOURCE STATEMENT	;
21B1	A39340306C	337	id xirnk,ximagnk]	; ; xirnk=xi[brfn-k]];
21B6	066C	338	ext xirnk	; ; /t xirnk<--xirnk;xirnk+2<--sign(xirnk)*/;
21BB		339	AR:	; ; ti=(xibrk+xibrnk)/2;
21B8	446C684C	340	add ttmpi,xirk,xirnk	; ; /* Once dusuk degerlikli wordlar topla-
21BC	A06E4E	341	ld ttmpi+2,xirnk+2	; ; niyor. Sonra yüksek degerlikli word-
21BF	A46A4E	342	addc ttmpi+2,xirk+2	; ; larla carry flagi toplaniyor. */
21C2	0E014C	343	shral ttmpi,#1	
21C5	4864604B	344	sub ttmpi,xrrk,xrrnk	; ; tr=(xrbrk-xrbrnk)/2;
21C9	A0624A	345	ld ttmpi+2,xrrk+2	; ; /* Once dusuk degerlikli wordlar cikar-
21CC	A8664A	346	subc ttmpi+2,xrrnk+2	; ; tiliyor. Sonra yüksek degerlikli
21CF	0E014B	347	shral ttmpi,#1	; ; wordlarla carry flagi cikartiliyor. */
21D2	4464605B	348	add xrtmp,xrrk,xrrnk	; ; xrft=(xrbrk+xrbrnk)/4;
21D6	A0625A	349	ld xrtmp+2,xrrk+2	; ; /* Once dusuk degerlikli wordlar topla-
21D9	A4665A	350	addc xrtmp+2,xrrnk+2	; ; niyor. Sonra yüksek degerlikli word-
21DC	0D0E5B	351	shll xrtmp,#14	; ; larla carry flagi toplaniyor. */
21DF	486C685C	352	sub xitmp,xirk,xirnk	; ; xit=(xibrk-xibrnk)/4;
21E3	A06A5E	353	ld xitmp+2,xirk+2	; ; /* Once dusuk degerlikli wordlar cikar-
21E6	A86E5E	354	subc xitmp+2,xirnk+2	; ; tiliyor. Sonra yüksek degerlikli
21E9	0D0E5C	355	shll xitmp,#14	; ; wordlarla carry flagi cikartiliyor. */
21EC		356	MR:	
21EC	FE4F8B50254850	357	mul ttmpi,ttmpi,sinfn[kptr]	; ; outr=xrt+tit*cos(kpin)/2-trtsin(kpin)/2;
21F3	FE4F8BD2254C54	358	mul ttmpi,ttmpi,coefn[kptr]	
21FA	64545B	359	add xrtmp,ttmpi	
21FD	A4565A	360	addc xrtmp+2,ttmpi+2	
2200	68505B	361	sub xrtmp,ttmpi	
2203	A8525A	362	subc xrtmp+2,ttmpi+2	
2206	C38BC0305A	363	st xrtmp+2,outr[kptr]	; ; /* outr[0..31]:Reel cikis degerleri */
220B		364	MI:	
220B	FE4F8BD2254850	365	mul ttmpi,ttmpi,cosfn[kptr]	; ; outi=xit-tit*sin(kpin)/2-trt*cos(kpin)/2;
2212	FE4F8B50254C54	366	mul ttmpi,ttmpi,sinfn[kptr]	
2219	68545C	367	sub xitmp,ttmpi	
221C	A8565E	368	subc xitmp+2,ttmpi+2	
221F	68505C	369	sub xitmp,ttmpi	
2222	A8525E	370	subc xitmp+2,ttmpi+2	
2225	C38B00315E	371	st xitmp+2,outi[kptr]	; ; /*outi[0..31]:Imajiner cikis degerleri*/
222A		372	GET_MAG:	; ; magsq=pow(outr,2)+pow(outi,2);
222A	A05A4B	373	ld ttmpi,ximamp+2	
222D	A05E4C	374	ld ttmpi,xitmp+2	
2230	FE6C4B48	375	mul ttmpi,ttmpi	
2234	FE6C4C4C	376	mul ttmpi,ttmpi	
2238	644C4B	377	add ttmpi,ttmpi	
223B	A44E4A	378	addc ttmpi+2,ttmpi+2	
223E	324504	379	brc fft_mode,2,C_SORT	; ; /* FFT_MODE degiskeneninin 2. biti 0 ise
2241		380		; ; karekok; 1 ise magnitude secilir. */
2241	2811	381	C_LOG:	
2243	2002	382	call CALC_LOG	
2245		383	br UNWEAVE_END	
2245	2855	384	C_SORT:	
2247		385	call CALC_SORT	
2247	6502008A	386	UNWEAVE_END:	
2248	690200BE	387	add kptr,#2	
224F	DF02273F	388	sub n_sub_k,#2	
2253	F0	389	bne UN_LOOP	; ; }
		390	ret	; ; }
		391		
		392	=====	
		393	; Sub# & Started & Revised : 6 & 26_4-1992 & 21-5-1992 & Rv1.01	

ERR LOC	OBJECT	LINE	SOURCE STATEMENT
		394	; Assumes : -
		395	; Returns : -
		396	; Regs Modified : shft_cnt, tmpr, log, ptr, nxtloc, diff, FFT_OUT[0..31]
		397	; Call(s) : -
		398	; Purpose : 10*LOG(TMPR/65536) degerlerinin hesaplanması
		399	;=====
2254		400	CALC_LOG: ; Cikis = 512*LOG(x) - x=1,2,3,...,54K
2254 0194		401	clr shft_cnt
2256 0F9448		402	norml tmpr,shft_cnt ; tmpr degiskeni en yüksek değerlikli biti
2259 990F94		403	cmpb shft_cnt,#15 ; 1 oluncaya kadar sola kaydirilir ve kay-
		404	; dirma sayisi shft_cnt degiskene konur.
225C DA04		405	jle LOG_IN_RANGE ; Eger shft_cnt <= 15 ise LOG_IN_RANGE
		406	; adresine atlayacak.
225E 017B		407	clr log ; Eger shft_cnt=15 ise log=0 ve
2260 202C		408	br LOG_STORE ; Program LOG_STORE adresine dallanir.
2262		409	LOG_IN_RANGE:
2262 44949494		410	add shft_cnt,shft_cnt,shft_cnt ; SHIFT_COUNT bir pointer yapiliyor.
2266 AC4B96		411	ldbze ptr,tmpr+3 ; En yüksek değerlikli olan byte
		412	; tablo pointeri olarak kullaniliyor.
2269 44969696		413	add ptr,ptr,ptr ; ptr=ptr#2
226D 65182796		414	add ptr,# log_table-256 ; PTR= Table + offset (offset=tmpr+3)
		415	; tmpr+3 >= 128 oldugu sure boyunca
		416	; -256 kullanilacak.
2271 A29778		417	ld log,[ptr]+ ; log=mem_word(ptr) ; ptr=ptr+2
2274 A2967C		418	ld nxtloc,[ptr] ; nxtloc=mem_word(ptr)
		419	; linear interpolation
2277 68787C		420	sub nxtloc,log ; nxtloc = (bir sonraki log) - log
227A AC4A70		421	ldbze diff,tmpr+2 ; diff+1 = nxtloc * tmpr+2 / 256
227D 6C7C70		422	ulu diff,nxtloc
2280 000870		423	shrl diff,#8 ; log = log + diff/256
2283 647078		424	add log,diff
2286 080578		425	shr log,#5 ; 8192/32 * 20LOG(x) = 256 * 20LOG(x)
2289 A7951A2978		426	addc log,log_offset[shft_cnt] ; Normalization Faktoru + log
		427	; Log(M*N) = Log M + Log N
228E		428	LOG_STORE:
		429	; shr log,#scale_factor ; Cikislarin ortalamasinin alinmasi sira-
228E A44078		430	addc log,zero ; sinda tasmanyi onlemek amaciyla bolme
		431	; islemi yapiliyor.
2291 67BB803078		432	add log,fft_out[kptr] ; log=log+FFT_OUT[kptr]
2296 C3BB803078		433	st log,fft_out[kptr] ; FFT_OUT[kptr]=log
2298 F0		434	ret
		435	
		436	;=====
		437	; Subs & Started & Revised : 7 & 26-4-1992 & 21-5-1992 & Rev1.01
		438	; Assumes : -
		439	; Returns : -
		440	; Regs Modified : shft_cnt, tmpr, ptr, sqrt, nxtloc, FFT_OUT[0..31]
		441	; Call(s) : -
		442	; Purpose : Karekok degerinin hesaplanması
		443	;=====
229C		444	CHLC_SORT:
229C 0194		445	clr shft_cnt
229E 0F9448		446	norml tmpr,shft_cnt ; Normalize ve Normalization Faktorunun
		447	; elde edilmesi
22A1 D705		448	jne SORT_IN_RANGE ; tmpr > 0 ise SORT_IN_RANGE adresine atla
22A3 C07640		449	st zero,sqrt+2 ; Degilse mem_word(sqrt+2)=0 ve
22A6 2029		450	br SORT_STORE ; Program SORT_STORE adresine dallanacak.

ERR LOC	OBJECT	LINE	SOURCE STATEMENT	COMMENT
22AB		451	SORT_IN_RANGE;	
22AB AC4B96		452	ldbze ptr,tmpr+3	; En yüksek değerlikli olan byte ; Tablo Pointeri'dir.
22AB 44969696		453		
22AF 651B2696		454	add ptr,ptr,ptr	; ptr=ptr+2
		455	add ptr,# sq_table-256	; ptr = Table + Offset (offset=tmpr+3)
		456		
		457		
22B3 A29774		458	ld sqrt, [ptr]+	; sqrt=mem_word(ptr) ; ptr=ptr+2
22B6 A2967C		459	ld nxtloc, [ptr]	; nxtloc=mem_word(ptr) ; linear interpolation
22B9 6B747C		460		
22BC AC4A70		461	sub nxtloc,sqrt	; nxtloc = sqrt - bir sonraki sqrt
22BF 6C7C70		462	ldbze diff,tmpr+2	; diff+1 = nxtloc + tmpr+2 / 256
22C2 AC7170		463	mulu diff,nxtloc	
22C5 647074		464	ldbze diff,diff+1	; sqrt = sqrt + delta (diff < OFFH)
22C8 44949494		465	add sqrt,diff	
22C0 6F95D32674		466	add shft_cnt,shft_cnt,shft_cnt	; shft_cnt=shft_cnt#2
		467	mulu sqrt,tab_sqrt[shft_cnt]	; Normalization Faktorune bolunuyor. ; Eger tab2=0FFFFH ise mulu, bolme islemi ; yerine gerer. sqrt degismeden kalir.
22D1		468	SORT_STORE:	
22D1 A44076		469	lshr sqrt+2,%scale_factor	; Cikislarin ortalamasinin alınması sira-
		470	addc sqrt+2,zero	; sinda tasmayı onlemek amaciyla bolme ; islemi yapiliyor.
22D4 678B803076		471	add sqrt+2,fft_out[kptr]	; mem_word(sqrt+2)=mem_word(sqrt+2)
22D9 C38B803076		472	st sqrt+2,fft_out[kptr]	; +FFT_OUT[kptr] ; FFT_OUT[kptr]=mem_word(sqrt+2)
22DE F0		473	ret	
		474	=====	
		475	; Sub# & Started & Revised : 8 & 8-6-1992 & 8-6-1992 & Rv1.00	
		476	; Assumes : Evaluation Board'in 1. analog girīsinden bir analog sinyalin	
		477	; verildigi farzediliyor.	
		478	; Returns : XREAL ve XIIMAG dizilerinde analog sinyalin orneklenmis degerleri	
		479	; Regs Modified : control_a2d, sample_period, src_ptr, dest_ptr, loop_c,	
		480	; adudtemp0, top_of_buffer, aductemp1, ad_command, temp,	
		481	; hso_0_high, aductemp0, start_a2d, hso_0_low, ad_result_lo,	
		482	; ad_result_hi, sample_count	
		483	; Call(s) :	
		484	; Purpose : Evaluation Board'a disaridan alınan analog sinyallerin	
		485	; digitale cevrilip hafizada bir buffer'a atılması	
		486	=====	
		487	;	
		488	; MC986 Evaluation Board'un JPI Analog Input Connector'u aracılıgi ile	
		489	; disaridan alınan analog sinyaller ADC cevirici yardımıyla digitale	
		490	; cevirmektedir. Bu program yardımıyla bu degerler bir buffer'a	
		491	; aktarilmaktadir. A/D cevrimi interrupt kontrolu altında yapilir.	
		492	; A2D_BUFF_Util altprogrami ile A/D cevrimi baslangic durumuna set edilir.	
		493	; A/D cevrim sonuculari BUFF0 ve BUFF1 ismine iki buffer'da saklanır.	
		494	;	
		495	; Bu program, kullaniciya, buffer uzunlugunu, data formatini, ornekleme	
		496	; periyodunu ve cevrimin yapilacagi kanali secme olanagi tanimaktadir. Ayrca,	
		497	; bu program, buffer'lari bir register file buffer'ina yukleyebilen "download"	
		498	; isminde bir alt programa da sahiptir. Cikis formati bu alt programin	
		499	; isleyebilecegi sekilde secilebilir. Veriler, işaretli veya isaretsiz, lineer	
		500	; veya ikiserli dizilere yerlestirilecek sekilde secilebilir.	
		501	;	
		502	; Kullaniciya Sunulan Secenekler:	

ERR LOC OBJECT

LINE SOURCE STATEMENT

500 ; Bu programın yönlendirilmesi hafızadaki iki kontrol kelimesi yardımıyla
501 ; yapılmır. Programda A/D çevrimlerinin doğru yapılabilmesi için, A2D_BUFF_Util
502 ;ait programı çağrıldığında kontrol kelimelerinin hazır olması gerekmektedir.
503 ;
504 ; Kontrol kelimeleri aşağıdaki yapıda olmalıdır:
505 ;
506 ; Sample_Period : word ; 'Tieer' tanımlandıktan sonra örnekler
507 ; arasında zamanın tieer cinsinden değeri
508 ; Control_A2D : byte ; Asağıda verilen şekilde kontrol bilgisini
509 ; icerir.
510 ;
511 ; Bit#
512 ; 0-2 : Kanal numarası
513 ; 3 : Isaretli/Isaretsiz sonuc
514 ; 4 : Convert/Download
515 ; 5 : BUFF0/BUFF1 çevrim için
516 ; 6 : BUFF0/BUFF1 download için
517 ; 7 : Lineer/İkiserli
518 ;
519 ; 8 : Çevirici mesgul/serbest
520 ;
521 ; Asağıdaki tablo, Control_A2D registerinin alacağı değerleri göstermektedir.
522 ; Çevrimi başlatmak için LDR Control_A2D ile beraber aşağıdağı değerlerden
523 ; biri ve DRB Control_A2D komutu ile beraber de kanal numarası verilmelidir.
524 ;
525 ; Control_A2D registerine yüklenebilecek değerler:
526 ;
527 ; con_b0 equ 00010000b ; Çevrim BUFF0 buffer'ına yapılacak.
528 ; con_b1 equ 00110000b ; " BUFF1 "
529 ; dump_b0_l_u equ 01100000b ; download BUFF0'a lineer isaretsiz data
530 ; dump_b1_l_u equ 01100000b ; " BUFF1'e "
531 ; dump_b0_p_u equ 00100000b ; " BUFF0'a ikiserli "
532 ; dump_b1_p_u equ 00000000b ; " BUFF1'e "
533 ; dump_b0_l_s equ 01101000b ; " BUFF0'a lineer isaretli "
534 ; dump_b1_l_s equ 01001000b ; " BUFF1'e "
535 ; dump_b0_p_s equ 00101000b ; " BUFF0'a ikiserli "
536 ; dump_b1_p_s equ 00001000b ; " BUFF1'e "
537 ;
538 ; 9azi registerlerin içerikleri:
539 ; BUFF0_BASE: BUFF0'in baslangic adresi
540 ; BUFF1_BASE: BUFF1'in baslangic adresi
541 ; DEST_BUFF_BASE: Download yapılacak hedef bufferin baslangic adresi
542 ; BUFF_LENGTH: Her buffer'in tutması gereken örnek sayısı (1 ile 256 arası)
543 ; SHIFT_CNT: Çevirme sonucunun 2'ye kaç defa boluneceğini gösterir.
544 ; CLOCK: TIMER1 veya T2CLK olarak tanımlanır. Bu değer çevrilerde temel
545 ; zaman olarak alınır.
546 ;
547 ; Örnekler bufferlarda word olarak saklanır. Çevrim sonuçları BUFF0 ve
548 ; BUFF1'e lineer olarak yerleştirilir. Hedef buffer'a ise isteğe bağlı olarak
549 ; lineer veya ikiserli olarak yerleştirilir. Eğer download, ikiserli olursa
550 ; ilk örnek DEST_BUFF_BASE adresine, ikinci örnek DEST_BUFF_BASE + BUFF_LENGTH
551 ; adresine, üçüncü örnek DEST_BUFF_BASE + 2 adresine ve dordüncü örnek
552 ; DEST_BUFF_BASE + 2 + BUFF_LENGTH adresine yerleştirilir.
553 ;
554 ; "Çevirici mesgul(converter busy)" biti, program çağrıldıktan sonra ilk 50
555 ; state_time'da "1"dir. Bu bit her çevrim sonucunun tanımlanan buffer'a
556 ; (BUFF0 ve BUFF1)'de saklanmasından sonra silinir.
557 ;
558 ;
559 ;
560 ;
561 ;
562 ;
563 ; CONTROL_A2D registeri için komutlar:
564 ; busy equ 7 ; busy biti, 7. bit

ERR LOC	OBJECT	LINE	SOURCE STATEMENT	COMMENT
	0010	563	con_b0 equ 00010000b ; A/D cevrim sonucu BUFF0'a konacak.	
	0028	564	duemp_b0_p_s equ 00101000b ; BUFF0'a ikiserli isaretli datalar	
		565		; download edilecek.
		566		
		567		
		568	; Diger sabitler:	
		569	buff_length equ 64	
	0001	570	shift_count equ 1	
	000A	571	timer1 equ 0ah	
	000C	572	timer2 equ 0ch	
	000C	573	t2clk equ 0ch	
	000A	574	clock equ timer1	
	0000	575	mask equ (10h*clock)and(40h)	
	000F	576	start_a2d equ (00001111b)or(mask) ; A/D cevrimi timer1'e bagli	
		577		; polarak calistirilacak.
		578		; (Interrupt'a bagli degil)
	0000	579	hsd_0_low equ (0000000b)or(mask) ; HSD_0'in dusuk byte'i timer1'e	
		580		; bagli olarak calistirilacak.
		581		; Interruptta bagli degil.
	0020	582	hsd_0_high equ (0010000b)or(mask) ; HSD_0'in yüksek byte'i timer'e	
		583		; bagli olarak calistirilacak.
		584		; Interruptta bagli degil.
	0003	585	bfm equ 3 ; isarelli/isaretsiz#	
	0004	586	con_dwn equ 4 ; convert/download#	
	0005	587	b0_b1 equ 5 ; cevrim icin buff1/buff0#	
		588		; download icin buff0/buff1#
	0006	589	lin_par equ 6 ; lineer/ikiserli#	
	0080	590	busy2 equ 10000000b ; busy bitinin konumu	
	0002	591	ad_command equ 02h:byte	
	0006	592	hsd0_command equ 06h:byte	
	0004	593	hsd0_time equ 04h:word	
	0002	594	ad_result_lo equ 02h:byte	
	0003	595	ad_result_hi equ 03h:byte	
	22DF	596	LOAD_DATA:	
	22DF B110B1	597	ldw control_a2d,#con_b0	; Cevrim sonucu BUFF0'a konacak.
	22E2 9101B1	598	orb control_a2d,#01	; Analog sinyal girisinde kanal-1 kullanilacak.
	22E5 A13200A6	599	id sampie_period,#50	; Orneklemme periyodu 100 mikrosaniye
	22E9 2809	600	call a2d_buff_util	; A/D cevrim islemi basiyor.
	22EB 3FB1FD	601	jbs control_a2d,busy,\$; Cevrim tamamlanincaya kadar bekleyecek.
	22EE	602	DOWNLOAD:	
	22EE B12BB1	603	lrb control_a2d,#duemp_b0_p_s	; BUFF0'a ikiserli isaretli data
		604		; yerlestirilecek.
	22F1 2801	605	call a2d_buff_util	
	22F3 F0	606	ret	
	22F4	607	A2D_BUFF_UTIL:	
	22F4 3CB162	608	jbs control_a2d,con_dwn,convert	; convert/download secimi
	22F7	609	DOWNLOAD:	
	22F7 A14030B2	610	id src_ptr,#BUFF1_BASE	
	22FB 35B104	611	jbc control_a2d, b0_b1, set_data_format	; data tipinin belirlenmesi
	22FE	612	DOWNLOAD_BUFF0:	
	22FE A10030B2	613	id src_ptr,#BUFF0_BASE	
	2302	614	SET_DATA_FORMAT:	; lineer/ikiserli secimi
	2302 A10001B4	615	id dest_ptr,#DEST_BUFF_BASE	
	2306 B140B6	616	ldb loop_c,#BUFF_LENGTH	
	2309 3EB11D	617	jbs CONTROL_A2D, lin_par, lineer_data_loop	
	230C	618	PAIRED:	
	230C 1B01B6	619	shrb loop_c,\$1	; ikiserli data rutini, lineer data
		620		; rutuni'nin 1/2'si kadar donguye sahip.

ERR	LOC	OBJECT	LINE	SOURCE STATEMENT
	230F		622	PAIRED_DATA_LOOP:
	230F A2B3AB		623	ld adudtemp0,[src_ptr]+ ; cift sayili wordlari aliyor.
	2312 C2B4AB		624	st adudtemp0,[dest_ptr]
	2315 654000B4		625	add dest_ptr,#buff_length
	2319 A2B3AB		626	ld adudtemp0,[src_ptr]+ ; tek sayili wordlari aliyor.
	231C C2B5AB		627	st adudtemp0,[dest_ptr]+
	231F 694000B4		628	sub dest_ptr,#buff_length
	2323 E0B6E9		629	djnz loop_c,paired_data_loop
	2326 280D		630	call convert_data
	2328 F0		631	ret
	2329		632	LINEER_DATA_LOOP:
	2329 A2B3AB		633	ld adudtemp0,[src_ptr]+
	232C C2B5AB		634	st adudtemp0,[dest_ptr]+
	232F E0B6F7		635	djnz loop_c,lineer_data_loop
	2332 2801		636	call Convert_data
	2334 F0		637	ret
	2335		638	CONVERT_DATA:
	2335 A14000B6		639	ld loop_c,#buff_length
	2339 A10001B2		640	ld src_ptr,#dest_buff_base
	233D		641	L AGAIN:
	233D A2B2AB		642	ld adudtemp0,[src_ptr]
	2340 71C0A8		643	andb adudtemp0,#11000005
	2343 33B109		644	jbc control_a2d,dfore,unsigned_result
	2346		645	SIGNED_RESULT:
	2346 69E07FAB		646	sub adudtemp0,#7fa0h
	234A 0A01AB		647	shra adudtemp0,#shift_count
	234D 2003		648	br replace_sample
	234F		649	UNSIGNED_RESULT:
	234F 0B01AB		650	shr adudtemp0,#shift_count
	2352		651	REPLACE_SAMPLE:
	2352 C2B3AB		652	st adudtemp0,[src_ptr]+
	2355 E0B6E5		653	djnz loop_c,l_again
	2358 F0		654	ret
	2359		655	CONVERT:
	2359 F2		656	pushf
	235A 9180B1		657	orb control_a2d,#busy2 ; "cevirici mesgul" biti set ediliyor.
	235D B13FB0		658	ldb sample_count,#buff_length-1
	2360 A10030AE		659	ld top_of_buffer,#buff0_base
	2364 A18030AC		660	aductemp1,f(buff0_base+2*buff_length)
	2368 35B108		661	jbc control_a2d,b0_b1,start_conversions
	236B A14030AE		662	ld top_of_buffer,#buff1_base
	236F A1C030AC		663	aductemp1,f(buff1_base+2*buff_length)
	2373		664	START_CONVERSIONS:
	2373 5107B102		665	andb ad_command,control_a2d,#00000111b ; kanal numarasi yukleniyor.
	2377 44A60AAA		666	add aductemp0,clock,sample_period ; Su andan itibaren bir ornek
			667	;suresi boyunca ilk cevrim
			668	;gerceklestirilecek.
			669	;time=aductemp0 olurcaya kadar
			670	;cevrimi yap.
	2381 CCB2		671	pop temp
			672	load_hso_command hso_0_high
			673	
			674	
			675	
			676	
			677	
			678	
			679	or temp,#202h
			680	add aductemp0,sample_period.
			681	load_hso_command start_a2d
			682	
			683	
			684	

ERR	LOC	OBJECT	LINE	SOURCE STATEMENT	
	2396	C6B2	665	push temp	; psw, tekrar stack'a atiliyor.
	239E	F3	666	load_hso_command hso_0_low	
	239F	F0	669	popf	
	23A0		670	ret	
	23A0	F2	691	A2D_DONE_VECTOR: ; A/D interrupt service routine	
	23A1	C6AF02	692	pushf	
	23A4	C6AF03	693	stb ad_result_lo,[top_of_buffer]+	
	23A7	5107B102	694	stb ad_result_hi,[top_of_buffer]+	
	23AB	E0B009	695	andb ad_command,control_a2d,#0000011b ; kanal numarasi yuklendi.	
	23AE	17B0	696	djnz sample_count,sample_again	
	23B0	88ACAE	697	incb sample_count	
	23B3	DF26	698	cmp top_of_buffer,aductemp1	
	23B5	F3	699	be top_of_buffers	
	23B6	F0	700	popf	
	23B7		701	ret	
	23B7	64A6AA	702	SAMPLE AGAIN:	
	23B8	88ACAE	703	add aductemp0,sample_period ; Bir sonraki ornek zamanı set ediliyor.	
	704		704	cmp top_of_buffer,aductemp1 ; Bir sonraki jump icin buffer'in sonu kontrol ediliyor.	
	705		705	load_hso_command start_a2d	
	23C3	30B00B	706	jbc sample_count,0,MAKE_HSO_HIGH	
	23C6		710	MAKE_HSO_LOW:	
	23C6	FD	711	nop	
	23CD	DF0C	712	load_hso_command hso_0_low	
	23CF	F3	715	be top_of_buffers	
	23D0	F0	716	popf	
	23D1		717	ret	
	23D7	DF02	718	MAKE_HSO_HIGH:	
	23D9	F3	719	load_hso_command hso_0_high	
	23DA	F0	722	be top_of_buffers	
	23DB		723	popf	
	23DB	717FB1	724	ret	
	23DE	F3	725	TOP_OF_BUFFERS:	
	23DF	F0	726	andb control_a2d,#not(busy2) ; cevircinin busy biti temizleniyor.	
	727		727	popf	
	728		728	ret	
	729		729		
	23E0		730	ENDP:	
	23E0	FD	731	nop	
	732		732		
	2500		733	CSEG at 2500H	
	2500		734	BREV: ; 2bit reversal degerleri	
	2500	0000200010003000	735	DCW 2#0, 2#1b, 2#8, 2#24, 2#4, 2#20, 2#12, 2#28	
	2510	0400240014003400	736	DCW 2#2, 2#18, 2#10, 2#26, 2#6, 2#22, 2#14, 2#30	
	2520	0200220012003200	737	DCW 2#1, 2#17, 2#9, 2#25, 2#5, 2#21, 2#13, 2#29	
	2530	0600260016003600	738	DCW 2#3, 2#19, 2#11, 2#27, 2#7, 2#23, 2#15, 2#31	
	2540	0000000000000000	739	DCW 0, 0, 0, 0, 0, 0, 0, 0	
	740		740		
	2550		741	CSEG at 2550H	
	2550		742	SINFN: ; SIN(K1PI/N)2^15	
	2550	00008C00CF9182825	743	DCW 0, 3212, 6393, 9512, 12539, 15446, 18204, 20787	
	2560	825AF1626D6AE270	744	DCW 23170, 25329, 27245, 28898, 30273, 31356, 32137, 32609	
	2570	FF7F617F897D7C7A	745	DCW 32767, 32609, 32137, 31356, 30273, 28898, 27245, 25329	
	2580	825A33511C47563C	746	DCW 23170, 20787, 18204, 15446, 12539, 9512, 6393, 3212	
	2590	000074F307E7DBDA	747	DCW 0, -3212, -6393, -9512, -12539, -15446, -18204, -20787	
	25A0	7EA50F9D93951EBF	748	DCW -23170, -25329, -27245, -28898, -30273, -31356, -32137, -32609	
	25B0	01809F8077828485	749	DCW -32767, -32609, -32137, -31356, -30273, -28898, -27245, -25329	

ERR	LOC	OBJECT	LINE	SOURCE STATEMENT
	25C0	7EA5CDAEE4BBAAC3	750	DCW -23170, -20787, -18204, -15446, -12539, -9512, -6393, -3212
	25D0	0000	751	DCW 0
	25D2		752	
	25D2	FF7F617FB97D7C7A	753	DCSFN: ; COS(K*PI/N)*2^15
	25E2	825A33511C47563C	754	DCW 32767, 32609, 32137, 31356, 30273, 28898, 27245, 25329
	25F2	000074F307E7D8DA	755	DCW 23170, 20787, 18204, 15446, 12539, 9512, 6393, 3212
	2602	7EA50F9D93951E8F	756	DCW 0, -3212, -6393, -9512, -12539, -15446, -18204, -20787
	2612	01809FB077028485	757	DCW -23170, -25329, -27245, -28898, -30273, -31356, -32137, -32609
	2622	7EA5CDAEE4BBAAC3	758	DCW -32767, -32609, -32137, -31356, -30273, -28898, -27245, -25329
	2632	00008C0CF9182B25	759	DCW -23170, -20787, -18204, -15446, -12539, -9512, -6393, -3212
	2642	825AF1626D6AE270	760	DCW 0, 3212, 6393, 9512, 12539, 15446, 18204, 20787
	2652	FF7F	761	DCW 23170, 25329, 27245, 28898, 30273, 31356, 32137, 32609
	2652		762	DCW 32767
	2654		763	
	2654	FF7FB97D41766D6A	764	WR: ; WR= COS(K*2PI/N)
	2664	000007E705CFE4B8	765	DCW 32767, 32137, 30273, 27245, 23170, 18204, 12539, 6393
	2664	01807782BF899395	766	DCW 0, -6393, -12539, -18204, -23170, -27245, -30273, -32137
	2674	01807782BF899395	767	DCW -32767, -32137, -30273, -27245, -23170, -18204, -12539, -6393
	2684	0000F91BF8301C47	768	DCW 0, 6393, 12539, 18204, 23170, 27245, 30273, 32137
	2694	FF7F	769	DCW 32767
	2696		770	
	2696	000007E705CFE4B8	771	WI: ; WI= -SIN(K*2PI/N)
	26A5	01807782BF899395	772	DCW 0, -6393, -12539, -18204, -23170, -27245, -30273, -32137
	26B6	0000F91BF8301C47	773	DCW -32767, -32137, -30273, -27245, -23170, -18204, -12539, -6393
	26C6	FF7FB97D41766D6A	774	DCW 0, 6393, 12539, 18204, 23170, 27245, 30273, 32137
	26D6	0000	775	DCW 32767, 32137, 30273, 27245, 23170, 18204, 12539, 6393
	26D8		776	DCW 0
	26D8		777	
	26D8	TAB_SGR:	778	; 65535/(2^SHFT_CNT'nin karekoku)
	26D8	FFFF04B50080825A	779	; 0 <= shft_ent < 32
	26E8	0010500B0008AB05	780	; 1 2 4 8 16 32 64 128
	26E8	0001B50080005B00	781	DCW 65535, 46340, 32768, 23170, 16384, 11585, 8192, 5793
	2708	10000B0008000600	782	DCW 256 512 1024 2048 4096 8192 16384 32768
	2718		783	DCW 4096, 2896, 2048, 1448, 1024, 724, 512, 362
	2718	05B5BAB56EB621B7	784	DCW 65536 131072 262144 524288 ...
	2728	97BA46BBF5BBA3BC	785	DCW 256, 181, 128, 91, 64, 45, 32, 23
	2738	00C0AAC054C1FDC1	786	DCW 16, 11, 8, 6, 4, 3, 2, 1
	2748	43C5EPC58EC633C7	787	
	2758	63CA04CBA6CB46CC	788	SO_TABLE: ; n * 2^24'un karekoku
	2768	62CF00D09DD03AD1	789	; N=128, 129, 130 ... 255
	2778	44D4DED477D511D6	790	DCW 46341, 46522, 46702, 46881, 47059, 47237, 47415, 47591
	2788	09D9A0D936DACCDA	791	DCW 47767, 47942, 48117, 48291, 48465, 48637, 48809, 48981
	2798	B4DD47DEDDBDE6EDF	792	DCW 49152, 49322, 49492, 49661, 49830, 49998, 50166, 50332
	27A8	46E2D7E267E3F7E3	793	DCW 50499, 50665, 50830, 50995, 51159, 51323, 51486, 51649
	27B8	C1E64FE7DDE76AEB	794	DCW 51811, 51972, 52134, 52294, 52454, 52614, 52773, 52932
	27C8	27EBB2EB3DECC7EC	795	DCW 53090, 53248, 53405, 53562, 53719, 53874, 54030, 54185
	27D8	77EF00F088F010F1	796	DCW 54340, 54494, 54647, 54801, 54954, 55106, 55258, 55410
	27E8	B4F33BF4C1F446F5	797	DCW 55561, 55712, 55862, 56012, 56162, 56311, 56459, 56608
	27F8	DFF763FBE7FB6AF9	798	DCW 56756, 56903, 57051, 57198, 57344, 57490, 57636, 57781
	2808	F8FB7AFCFBFC7DFD	799	DCW 57926, 58071, 58215, 58359, 58503, 58646, 58789, 58931
	800		800	DCW 59073, 59215, 59357, 59498, 59639, 59779, 59919, 60059
	801		801	DCW 60199, 60338, 60477, 60615, 60754, 60891, 61029, 61166
	802		802	DCW 61303, 61440, 61576, 61712, 61848, 61984, 62119, 62254
	803		803	DCW 62388, 62523, 62657, 62790, 62924, 63057, 63190, 63323
	804		804	DCW 63455, 63587, 63719, 63850, 63982, 64113, 64243, 64374
	805		805	DCW 64504, 64634, 64763, 64893, 65022, 65151, 65280, 65408
	806		806	

ERR LOC	OBJECT	LINE	SOURCE STATEMENT
2818		807	LOG_TABLE:
		808	; 16384=10*LOG(n/128) ; n=128,129,130,...,256
2818 00002A024F047006		809	DCW 0, 554, 1103, 1148, 2190, 2727, 3260, 3789
2828 DA10E312E914EA16		810	4314, 4835, 5353, 5866, 6376, 6883, 7386, 7885
2838 BD20A92292247826		811	8381, 8873, 9362, 9848, 10330, 10810, 11286, 11758
2848 C42F973166333335		812	12228, 12695, 13158, 13619, 14076, 14531, 14963, 15432
2858 063EC13F7A413043		813	15878, 16321, 16762, 17200, 17635, 18067, 18497, 18925
2868 954B3C4DDF4EB150		814	19349, 19772, 20191, 20609, 21024, 21436, 21846, 22254
2878 845B175AA85B365D		815	22660, 23063, 23464, 23862, 24259, 24653, 25045, 25435
2888 DE646066E0675D89		816	25822, 26208, 26592, 26973, 27353, 27730, 28106, 28479
2898 B370247294730275		817	28851, 29220, 29588, 29954, 30318, 30680, 31040, 31399
28A8 087C6E7DCF7E2F80		818	31755, 32110, 32463, 32815, 33165, 33512, 33859, 34203
28B8 F26647889B89ED8A		819	34546, 34887, 35227, 35565, 35902, 36236, 36570, 36901
28C8 7091B892FF934595		820	37232, 37560, 37887, 38213, 38537, 38860, 39181, 39501
28D8 BB9DCB9C049E3E9F		821	39819, 40136, 40452, 40766, 41079, 41390, 41700, 42009
28E8 4CA57EA6AFA7DEAB		822	42316, 42622, 42927, 43230, 43533, 43833, 44133, 44431
28F8 B9AEE0AF07B12CB2		823	44729, 45024, 45319, 45612, 45905, 46196, 46486, 46774
2908 D6B7F4B811BA2DBB		824	47062, 47348, 47633, 47917, 48200, 48482, 48763, 49042
2918 A9C0		825	49321
		826	
291A		827	LOG_OFFSET: ; 512*10*LOG(2^(15-n)) n=0,1,2,3,...,15
		828	; 512*10*LOG(0.5) n=16,17,18,...,31
291A 9F5A4A54454E3F48		829	DCW 23199, 21578, 20037, 18495, 16954, 15413, 13871, 12330
2924 252A20241A1E1518		830	DCW 10789, 9246, 7706, 6165, 4624, 3083, 1541, 0
		831	
293A		832	DATA0: ; ADC rutini kullanılmadığı zaman giriş
		833	;değerlerinin alındığı tablo
293A FF7FFF7FFF7FFF7F		834	DCW 32767, 32767, 32767, 32767, 32767, 32767, 32767
294A FF7FFF7FFF7FFF7F		835	DCW 32767, 32767, 32767, 32767, 32767, 32767, 32767
295A FF7FFF7FFF7FFF7F		836	DCW 32767, 32767, 32767, 32767, 32767, 32767, 32767
296A FF7FFF7FFF7FFF7F		837	DCW 32767, 32767, 32767, 32767, 32767, 32767, 32767
297A 01B001B001B001B0		838	DCW -32767, -32767, -32767, -32767, -32767, -32767, -32767
298A 01B001B001B001B0		839	DCW -32767, -32767, -32767, -32767, -32767, -32767, -32767
299A 01B001B001B001B0		840	DCW -32767, -32767, -32767, -32767, -32767, -32767, -32767
29AA 01B001B001B001B0		841	DCW -32767, -32767, -32767, -32767, -32767, -32767, -32767
		842	
29BA		843	END

SYMBOL TABLE LISTING

NAME	VALUE	ATTRIBUTES
A2D_BUFF_UTIL	22FAH	CODE ABS ENTRY
A2D_DONE_VECTOR	23AOH	CODE ABS ENTRY
AD_COMMAND	0002H	NULL ABS BYTE
AD_RESULT_HI	0003H	NULL ABS BYTE
AD_RESULT_LO	0002H	NULL ABS BYTE
ADUCTEMPO	00AAH	REG ABS WORD
ADUCTEMP1	00ACh	REG ABS WORD
ADUDTEMPO	00ABH	REG ABS WORD
AR	21B8H	CODE ABS ENTRY
AX	009EH	REG ABS WORD
BO_B1	0005H	NULL ABS
BREV.	2500H	CODE ABS WORD
BUFF_LENGTH	0040H	NULL ABS
BUFFO_BASE	3000H	DATA ABS
BUFF1_BASE	3040H	DATA ABS
BUSY	0007H	NULL ABS
BUSY2	0080H	NULL ABS
BX	00A0H	REG ABS WORD
C_F_0	2091H	CODE ABS ENTRY
C_LOG	2241H	CODE ABS ENTRY
C_SQRT	2245H	CODE ABS ENTRY
CALC_LOG	2254H	CODE ABS ENTRY
CALC_SQRT	229CH	CODE ABS ENTRY
CLOCK	000AH	NULL ABS
CLR_FFT_OUT	20BAH	CODE ABS ENTRY
CLRR	20BEH	CODE ABS ENTRY
CON_BO	0010H	NULL ABS
CON_DWN	0004H	NULL ABS
CONTROL_A2D	00B1H	REG ABS BYTE
CONVERT	2359H	CODE ABS ENTRY
CONVERT_DATA	2335H	CODE ABS ENTRY
COSFN	25D2H	CODE ABS WORD
CX	00A2H	REG ABS WORD
DATA0	293AH	CODE ABS WORD
DEST_BUFF_BASE	0100H	DATA ABS
DEST_PTR	00B4H	REG ABS WORD
DFORM	0003H	NULL ABS
DIFF	0070H	REG ABS LONG
DO_TAB	20BFH	CODE ABS ENTRY
DOWNL	22EEH	CODE ABS ENTRY
DOWNLOAD	22F7H	CODE ABS ENTRY
DOWNLOAD_BUFF0	22FEH	CODE ABS ENTRY
DUMP_BO_P_S	002BH	NULL ABS
DX	00A4H	REG ABS WORD
ENDP	23E0H	CODE ABS ENTRY
ERR1	217FH	CODE ABS ENTRY
ERR2	2184H	CODE ABS ENTRY
ERROR	0044H	REG ABS BYTE
FFT_C_END	2189H	CODE ABS ENTRY
FFT_CALC	20CEH	CODE ABS ENTRY
FFT_MODE	0045H	REG ABS BYTE
FFT_OUT	30B0H	DATA ABS
G1	214CH	CODE ABS ENTRY

NAME	VALUE	ATTRIBUTES
GET_MAG	222AH	CODE ABS ENTRY
GM	2106H	CODE ABS ENTRY
GR2	213AH	CODE ABS ENTRY
GW	20F8H	CODE ABS ENTRY
GX	2155H	CODE ABS ENTRY
GX2	2143H	CODE ABS ENTRY
HSD_O_HIGH	0020H	NULL ABS
HSD_O_LOW	0000H	NULL ABS
HSD_COMMAND	0006H	NULL ABS BYTE
HSD_TIME	0004H	NULL ABS WORD
IK	2160H	CODE ABS ENTRY
IN_CNT	0026H	REG ABS WORD
IN_LOOP	20E6H	CODE ABS ENTRY
KH2	008CH	REG ABS WORD
KPTR	00BAH	REG ABS WORD
L AGAIN	233DH	CODE ABS ENTRY
LIN_PAR	0006H	NULL ABS
LINEER_DATA_LOOP	2329H	CODE ABS ENTRY
LOAD	209FH	CODE ABS ENTRY
LOAD_DATA	22DFH	CODE ABS ENTRY
LOAD_HSD_COMMAND	-----	MACRO
LOG	0078H	REG ABS LONG
LOG_IN_RANGE	2262H	CODE ABS ENTRY
LOG_OFFSET	291AH	CODE ABS WORD
LOG_STORE	228EH	CODE ABS ENTRY
LOG_TABLE	2818H	CODE ABS WORD
LOOP_C	0086H	REG ABS WORD
LOOP_CNT	0095H	REG ABS BYTE
MAINP	20B0H	CODE ABS ENTRY
MAKE_HSD_HIGH	23D1H	CODE ABS ENTRY
MAKE_HSD_LOW	23C6H	CODE ABS ENTRY
MASK	0000H	NULL ABS
MI	220BH	CODE ABS ENTRY
MID_LOOP	20E4H	CODE ABS ENTRY
MR	21ECH	CODE ABS ENTRY
N_SUB_K	008EH	REG ABS WORD
NDIV2	0088H	REG ABS WORD
NXTLOC	007CH	REG ABS LONG
OFFSET	009CH	REG ABS WORD
DUT_LOOP	20DBH	CODE ABS ENTRY
DUTI	3100H	DATA ABS
DUTR	30COH	DATA ABS
PAIRED	230CH	CODE ABS ENTRY
PAIRED_DATA_LOOP	230FH	CODE ABS ENTRY
PTR	0096H	REG ABS WORD
PWR	0084H	REG ABS WORD
REPLACE_SAMPLE	2352H	CODE ABS ENTRY
RK	0090H	REG ABS WORD
RNK	0092H	REG ABS WORD
SAMPLE AGAIN	23B7H	CODE ABS ENTRY
SAMPLE_COUNT	00B0H	REG ABS BYTE
SAMPLE_PERIOD	00A6H	REG ABS WORD
SCALE_FACTOR	0046H	REG ABS BYTE
SET_DATA_FORMAT	2302H	CODE ABS ENTRY
SHFT_CNT	0094H	REG ABS BYTE
SHIFT_COUNT	0001H	NULL ABS

NAME	VALUE	ATTRIBUTES
SIGNED_RESULT	2346H	CODE ABS ENTRY
SINFN	2550H	CODE ABS WORD
SP.	0042H	REG ABS WORD
SQ_TABLE.	2718H	CODE ABS WORD
SORT.	0074H	REG ABS LONG
SORT_IN_RANGE	22A8H	CODE ABS ENTRY
SORT_STORE.	22D1H	CODE ABS ENTRY
SRC_PTR	00B2H	REG ABS WORD
START_A2D	000FH	NULL ABS
START_CONVERSIONS	2373H	CODE ABS ENTRY
T2CLK	000CH	NULL ABS
TAB_SQR	26D8H	CODE ABS WORD
TABLE_LOAD.	2099H	CODE ABS ENTRY
TEMP.	00B2H	REG ABS WORD
TIMER1.	000AH	NULL ABS
TIMER2.	000CH	NULL ABS
TMPI.	004CH	REG ABS LONG
TMP11.	0054H	REG ABS LONG
TMPR.	004BH	REG ABS LONG
TMPR1.	0050H	REG ABS LONG
TOP_OF_BUFFER	00AEH	REG ABS WORD
TOP_OF_BUFFERS.	23D8H	CODE ABS ENTRY
UN_LOOP	2192H	CODE ABS ENTRY
UNSIGNED_RESULT	234FH	CODE ABS ENTRY
UNWEAVE	218AH	CODE ABS ENTRY
UNWEAVE_END	2247H	CODE ABS ENTRY
W1.	2696H	CODE ABS WORD
WIP	0082H	REG ABS WORD
WR.	2654H	CODE ABS WORD
WRP	0080H	REG ABS WORD
XIMAG	3040H	DATA ABS
XIRK.	0068H	REG ABS LONG
XIRNK	006CH	REG ABS LONG
XITMP	005CH	REG ABS LONG
XITMP1.	009AH	REG ABS WORD
XREAL	3000H	DATA ABS
XRRK.	0060H	REG ABS LONG
XRRNK	0064H	REG ABS LONG
XRTMP	005BH	REG ABS LONG
XRTMP1.	009BH	REG ABS WORD
ZERO.	0040H	REG ABS WORD

ASSEMBLY COMPLETED, NO ERROR(S) FOUND.

KAYNAKLAR

1. R.Strum, D. Kirk, First Principles of Discrete Systems and Digital Signal Processing, 1988 by Addison-Wesley Publishing Company, Inc., p.493
2. 80C196KC User's Guide, 1990 by Intel Corporation, p.1
3. EV80C196KB Microcontroller Evaluation Board User's Manual, Release 001, 1989 by Intel Corporation, p.21
4. Embedded Controller Applications Handbook 1991 by Intel Corporation, p. 6-106